

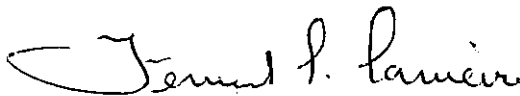
COLUNAS DE CONCRETO ARMADO SOLICITADAS POR

CARGAS AXIAIS EXCÊNTRICAS

NOBUO YAMAGATA

TESE SUBMETIDA AO CORPO DOCENTE DA COORDENAÇÃO DOS PROGRAMAS DE PÓS-GRADUAÇÃO DE ENGENHARIA DA UNIVERSIDADE FEDERAL DO RIO DE JANEIRO COMO PARTE DOS REQUISITOS NECESSÁRIOS PARA A OBTENÇÃO DO GRAU DE MESTRE EM CIÊNCIA (M. Sc.)

Aprovada por:



Prof. Fernando Luiz Lobo B. Carneiro
Presidente



Prof. Luiz Bevilacqua



Prof. Yoshiaki Nagato

RIO DE JANEIRO
ESTADO DA GUANABARA - BRASIL
FEVEREIRO DE 1973

R E S U M O

Examina-se o problema da determinação da capacidade de carga das colunas de concreto armado com seções transversais em forma de círculo ou coroa circular, quando solicitadas por cargas axiais excêntricas.

Os efeitos da variação da geometria da linha elástica e da não-linearidade dos diagramas tensão-deformação do concreto e do aço são analisados através de métodos numéricos. O processo de cálculo desenvolvido foi programado para a utilização de um computador na construção de abacos destinados à determinação da capacidade de carga das colunas em estudo.

As hipóteses adotadas baseiam-se nas recomendações do Comitê Europeen du Béton - Fédération Internationale de la Précontrainte (CEB-FIP).

SUMMARY

In this thesis we analyse the behaviour of beam-columns with circular or annular cross sections under eccentric longitudinal load.

The influence of the changes in shape of the elastic and the non-linearity of the stress-strain curves for both concrete and reinforcement steel is considered through numerical methods. A computer program for the numerical calculation was developed for plotting graphs used in the determination of bearing capacity of columns being studied.

The basic assumptions are from the CEB-FIP Recommendations.

Í N D I C ECAPÍTULO I

Introdução	1
------------	---

CAPÍTULO II

Processo de Cálculo	8
---------------------	---

2.1 - Hipóteses	9
-----------------	---

2.2 - Esforços solicitantes em função da distribuição de deformações normais	12
--	----

2.2.1 - Seções circulares de <u>con</u> creto	12
---	----

2.2.2 - Armadura	15
------------------	----

2.2.3 - Seções de concreto armado em forma de círculo ou coroa circular	18
---	----

2.3 - Resistência da seção transversal	21
--	----

2.4 - Esforços solicitantes em função da curvatura e da deformação <u>nor</u> mal média	22
---	----

2.5 - Colunas solicitadas por cargas <u>a</u> xiais centradas	24
---	----

2.6 - Colunas solicitadas por cargas <u>a</u> xiais excêntricas	28
---	----

2.6.1 - Curvas momento-curvatura	28
----------------------------------	----

2.6.2 - Deformadas de colunas <u>so</u> licitadas por cargas <u>a</u> xiais centradas	32
---	----

2.6.3 - Capacidade de carga	37
-----------------------------	----

	pg.
2.7 - Carregamentos de longa duração	42
<u>CAPITULO III</u> Aplicação	45
<u>BIBLIOGRAFIA</u>	53
<u>APÊNDICE</u>	55

NOTAÇÃO

d_e	Diâmetro externo da coluna
d_i	Diâmetro interno da coluna
d_a	Diâmetro da circunferência ao longo da qual se distribuem as barras da armadura longitudinal
$B = \pi \frac{d_e^2 - d_i^2}{4}$	Área da seção transversal da coluna
A	Área da seção transversal da armadura longitudinal
γ_a	Coefficiente de minoração da resistência do aço
γ_b	Coefficiente de minoração da resistência do concreto
R_{ak}	Valor característico da resistência do aço
$R_a^* = \frac{R_{ak}}{\gamma_a}$	Valor de cálculo da resistência do aço
R'_{bk}	Valor característico da resistência à compressão do concreto
$R'_b^* = \frac{R'_{bk}}{\gamma_b}$	Valor de cálculo da resistência à compressão do concreto
$p = \frac{R_a^* A}{0,85 R'_b^* B}$	Taxa mecânica de armadura
M	Momento fletor
$m = \frac{M}{0,85 R'_b^* B d_e}$	
M_o	Momento aplicado
$m_o = \frac{M_o}{0,85 R'_b^* B d_e}$	
N'	Esforço normal (positivo se de compressão)

$$n' = \frac{N'}{0,85R_b' * B}$$

N'_0 Carga axial aplicada (positivo se de compressão)

$$n'_0 = \frac{N'_0}{0,85R_b' * B}$$

e Excentricidade da carga axial

L Comprimento da coluna

$\ell = \frac{L}{d_e}$ Esbeltez da coluna

R Raio de curvatura

$$k = \frac{d_e}{R}$$

ϵ'_m Deformação normal média em uma seção

ϕ Relação entre a deformação lenta final do concreto e a instantânea

CAPITULO I

INTRODUÇÃO

O presente trabalho trata do problema da determinação da capacidade de carga das colunas de concreto armado com seções transversais em forma de círculo ou coroa circular, quando solicitadas por cargas axiais excêntricas.

Inicialmente, para uma melhor definição do problema examinado, faremos uma breve descrição do comportamento das colunas solicitadas simultaneamente a flexão e compressão.

Desde que a carga axial seja considerável, a deformação das colunas assim solicitadas pode afetar sensivelmente os seus esforços solicitantes internos. Conforme indicado no exemplo da fig. 1, os momentos fletores calculados sem a consideração da deformação da coluna (momentos fletores de 1a. ordem) são majorados por uma parcela resultante da associação da carga axial a esta deformação (momentos fletores de 2a. ordem). A influência deste efeito de 2a. ordem no comportamento da coluna depende do tipo do diagrama tensão-deformação do seu material.

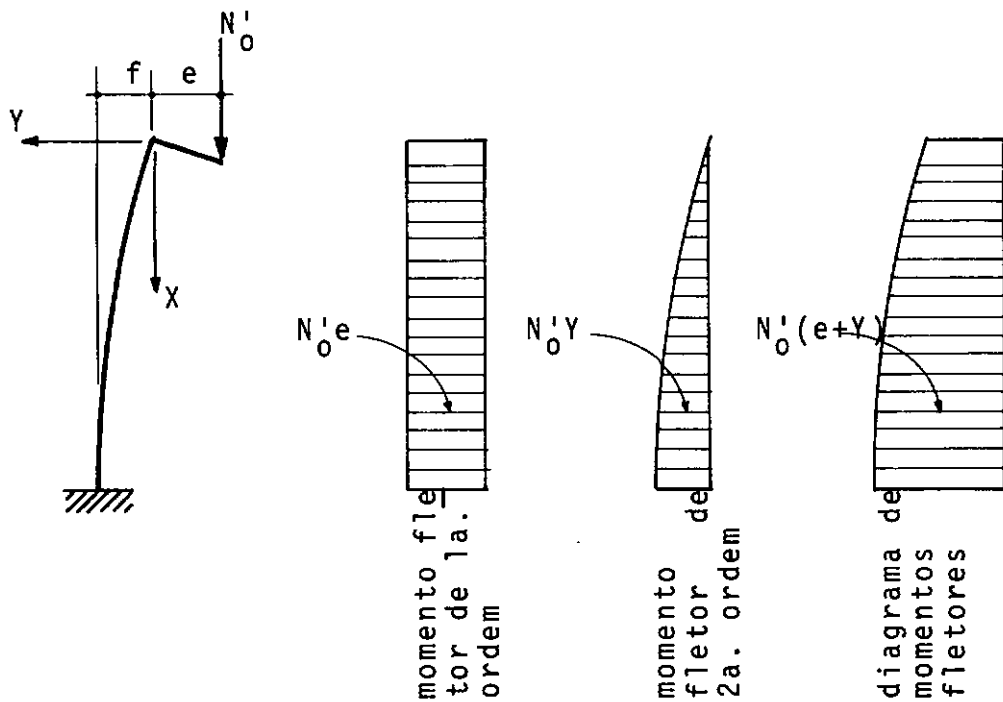
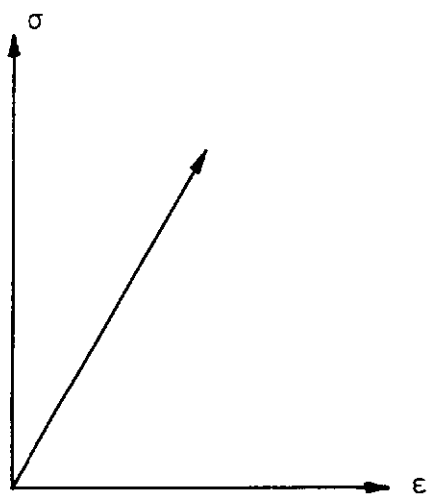


Fig. 1

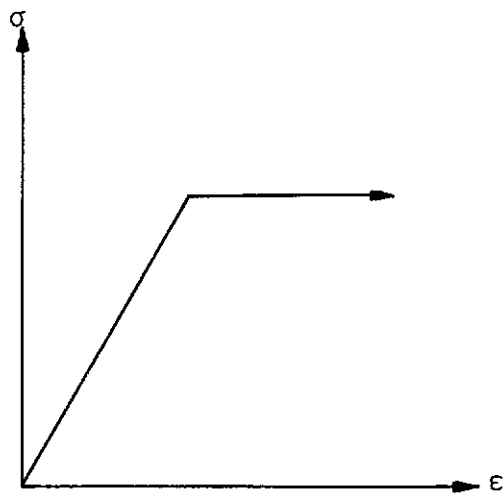
O comportamento da coluna da fig. 1 pode ser estudado relacionando a carga axial N'_0 com a deformação correspondente, caracterizada pela flecha f da sua extremidade livre. A curva assim definida representa as diversas configurações de equilíbrio da coluna e a sua derivada indica o tipo do equilíbrio. O equilíbrio é estável quando $\frac{dN'_0}{df} > 0$ e instável quando $\frac{dN'_0}{df} < 0$.

Para materiais elástico-lineares e elasto-plásticos ideais (fig. 2), a aplicação da teoria de 2a. ordem conduz, respectivamente, aos comportamentos representados pelas curvas (a) e (b) da fig. 3. As colunas de materiais elástico-lineares apresentam

um comportamento sempre estável, embora a flecha tenda a valores muito grandes quando a carga axial se aproxima de um certo valor. As colunas de materiais elasto-plásticos apresentam um comportamento qualitativamente diferente, caracterizado pela ocorrência de instabilidade do equilíbrio. Observe-se que, embora a influência da deformação da coluna nos seus esforços solicitantes internos seja considerada na teoria de 2a. ordem, ela só é válida para pequenas deformações.



a) materiais elástico-lineares perfeitos



b) materiais elasto-plásticos perfeitos

Fig. 2

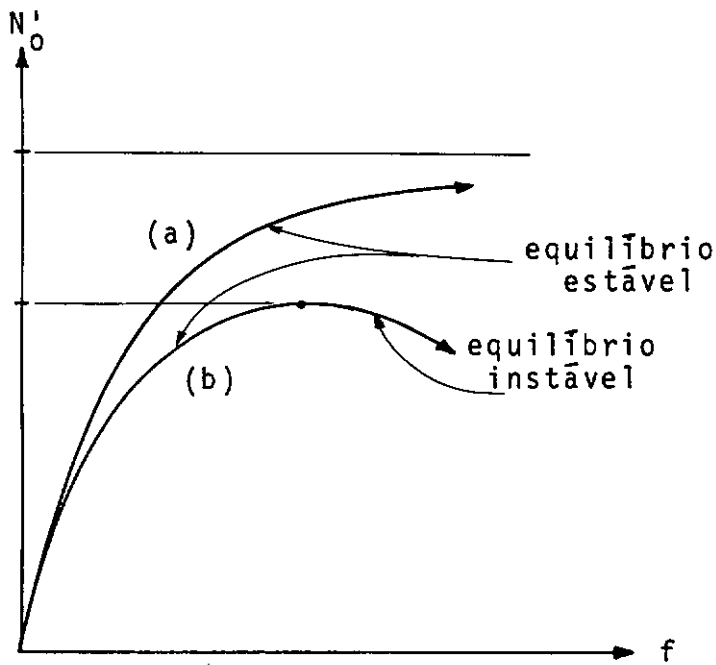


Fig. 3

As colunas de concreto armado apresentam um comportamento semelhante ao das colunas de materiais elasto-plásticos. Como o concreto e o aço apresentam limitações de resistência, verificam-se dois tipos de comportamento, associados, principalmente, à esbeltez da coluna. Conforme indicado pelas curvas (a) e (b) da fig. 4, a capacidade de carga pode ser limitada: (a) pelo esgotamento da capacidade resistente dos materiais; (b) pela ocorrência de instabilidade do equilíbrio. O comportamento (a) é típico das colunas curtas e o (b) das colunas longas.

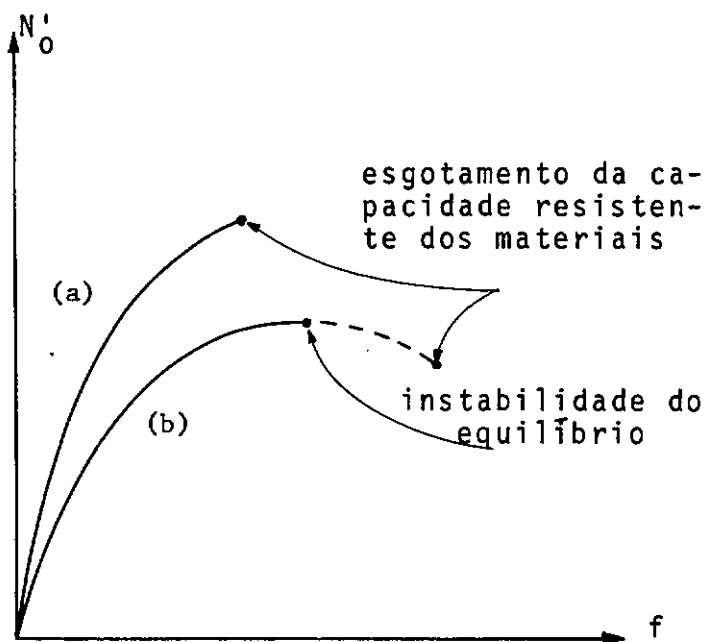


Fig. 4

Para cargas de longa duração a redução da capacidade de carga devida à deformação lenta do concreto deve ser considerada. Esta redução é particularmente sensível no caso das colunas longas, já que a deformação lenta pode aumentar consideravelmente a sua deformação e, portanto, o efeito de 2a. ordem.

No presente trabalho examinamos dois tipos de carregamentos quanto à sua duração: os de curta duração, onde a deformação lenta não é considerada, e os de longa duração, onde a deformação lenta é considerada de modo aproximado. Em ambos os casos a análise

6.

se é realizada a partir de diagramas tensão-deformação independentes do tempo.

Embora a não-linearidade dos diagramas tensão-deformação do concreto e do aço seja considerada, admite-se que a curva de descarga coincide com a de carga. Os resultados obtidos desta forma correspondem ao comportamento real da coluna quando as cargas e excentricidades crescem de forma a não provocar inversão no sentido de crescimento das tensões na coluna. Como a capacidade de carga é maior quando o carregamento é aplicado de forma a provocar esta inversão, estes resultados podem ser utilizados independentemente da forma como o carregamento é aplicado. Isto decorre do fato de que a simplificação introduzida nos diagramas tensão-deformação implica em considerar que a coluna é mais deformável do que na realidade o é. No caso de cargas axiais centradas esta simplificação conduz à teoria de Engesser-Shanley para a determinação da carga correspondente à bifurcação do equilíbrio (teoria do módulo de elasticidade tangente).

As hipóteses adotadas a respeito do comportamento do concreto e do aço baseiam-se nas recomendações do Comitê Européen du Béton - Fédération Internationale de la Précontrainte (CEB-FIP) (1,2). Não serão consideradas as possibilidades de ocorrer colapso por esforço cortante e instabilidade local na coluna

No Capítulo II fazemos o estudo das colunas em questão, deduzindo um processo para o cálculo da sua capacidade de carga. Este processo foi programado para a utilização de um computador na construção de ábacos para dimensionamento. Apresentamos no Apêndice a listagem do programa.

CAPÍTULO IIPROCESSO DE CÁLCULO

O desenvolvimento que se segue refere-se às colunas de concreto armado com eixo inicialmente reto e seções transversais com características constantes ao longo do comprimento, em forma de círculo ou coroa circular. Considera-se que as barras da armadura longitudinal se distribuem ao longo de uma circunferência, com espaçamento constante, e que o número destas barras é suficientemente grande para permitir a substituição da armadura real por outra contínua e uniformemente distribuída ao longo de toda a circunferência (Fig. 5).

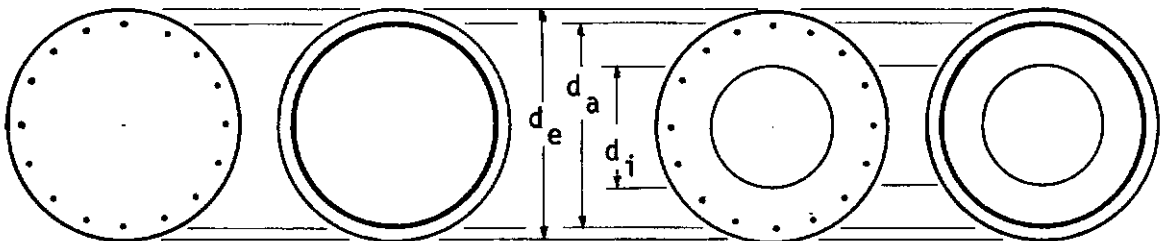


Fig. 5

2.1 - Hipóteses

Adotemos as seguintes hipóteses:

- (a) As seções transversais permanecem planas e normais ao eixo da coluna, estando implícito que a aderência entre o concreto e a armadura será considerada perfeita e que a deformação devida ao esforço cortante será desprezada;
- (b) A resistência de uma seção transversal é limitada pela ocorrência de uma deformação considerada excessiva na armadura ou pelo esmagamento do concreto. Limita-se o alongamento relativo da armadura em 10/1000 (zona 1 da fig. 6). Considere-se que o esmagamento do concreto ocorre quando o seu encurtamento relativo atinge 3,5/1000 em seções parcialmente comprimidas (zona 2) ou $3,5/1000 - 0,75\varepsilon'_{b_i}$ em seções totalmente comprimidas (ε'_{b_i} é o encurtamento relativo mínimo da seção - zona 3);
- (c) A relação entre tensões e deformações normais no concreto é representada pelo diagrama da fig.7, onde se considera que o concreto não resiste à tração;
- (d) A relação entre tensões e deformações normais no aço CA-24 é representada pelo diagrama da fig. 8 e, nos aços CA-40 e CA-50, pelo diagrama da fig. 9, onde se considera a combinação mais desfavorável dos diagramas relativos a aços naturais (tipo A) e encruados (tipo B).

10.

Nos diagramas tensão-deformação admite-se que a curva de descarga coincide com a de carga.

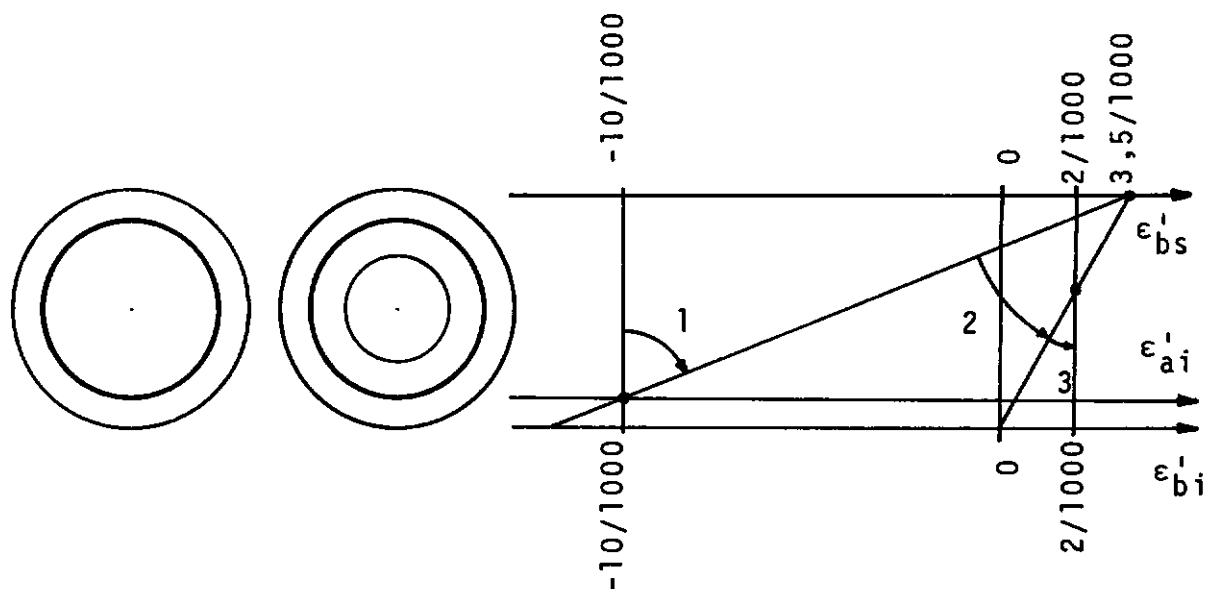


Fig. 6

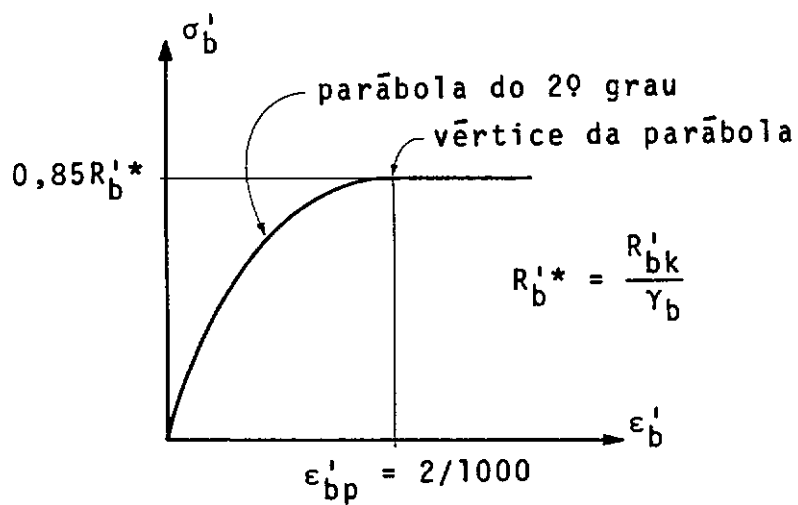


Fig. 7

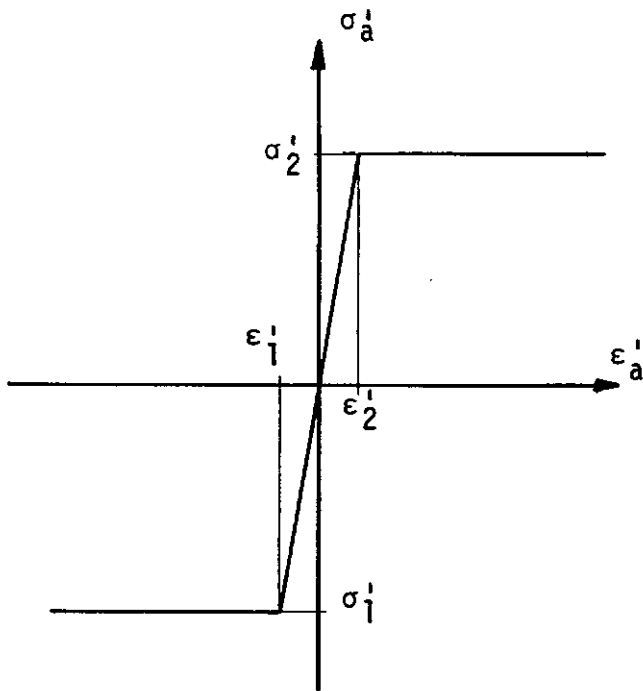


Fig. 8

Aço CA-24

$$R_{ak} = 24000 \text{ kgf/cm}^2$$

$$E_a = 2100000 \text{ kgf/cm}^2$$

$$R_a^* = \frac{R_{ak}}{\gamma_a} \quad (\gamma_a = 1,15)$$

$$\sigma_2' = -\sigma_1' = R_a^*$$

$$\epsilon_2' = -\epsilon_1' = \frac{R_a^*}{E_a}$$

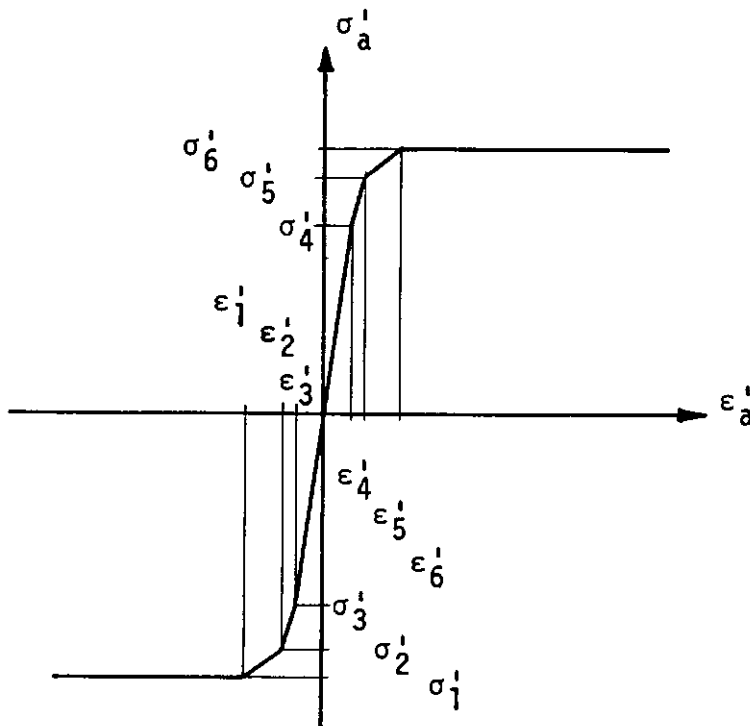


Fig. 9

Aço CA-40

$$R_{ak} = 4000 \text{ kgf/cm}^2$$

Aço CA-50

$$R_{ak} = 5000 \text{ kgf/cm}^2$$

$$E_a = 2100000 \text{ kgf/cm}^2$$

$$R_a^* = \frac{R_{ak}}{\gamma_a} \quad (\gamma_a = 1.15)$$

$$\sigma_6' = -\sigma_1' = R_a^*$$

$$\epsilon_6' = -\epsilon_1' = \frac{R_a^*}{E_a} + \frac{2}{1000}$$

$$\sigma_5' = -\sigma_2' = 0,9 R_a^*$$

$$\epsilon_5' = -\epsilon_2' = 0,9 \frac{R_a^*}{E_a} + \frac{0,25}{1000}$$

$$\sigma_4' = -\sigma_3' = 0,7 R_a^*$$

$$\epsilon_4' = -\epsilon_3' = 0,7 \frac{R_a^*}{E_a}$$

12.

2.2 - Esforços solicitantes em função da distribuição de deformações normais

Deduziremos, inicialmente, as relações entre esforços solicitantes e deformações normais para seções circulares de concreto e para a armadura. A partir destas, as relações correspondentes às seções de concreto armado em forma de círculo ou coroa circular serão deduzidas por superposição.

2.2.1 - Seções circulares de concreto

Sejam ϵ'_{bs} e ϵ'_{bi} as deformações normais máxima e mínima em uma seção circular de concreto. De acordo com a hipótese (a), a distribuição das deformações normais nesta seção é expressa por (fig. 10):

$$\epsilon'_b = k_1 + k_2 \operatorname{sen}\beta \quad (1)$$

onde:

$$k_1 = \frac{\epsilon'_{bs} + \epsilon'_{bi}}{2}$$

$$k_2 = \frac{\epsilon'_{bs} - \epsilon'_{bi}}{2}$$

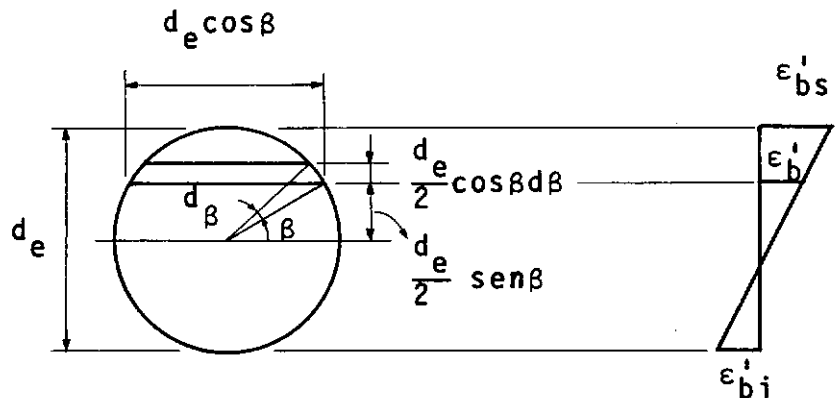


Fig. 10

De acordo com a hipótese (c), a relação entre tensões e deformações normais no concreto é expressa por:

$$\begin{aligned} \sigma'_b &= 0 && \text{para } \epsilon'_b \leq 0 \\ \sigma'_b &= 0,85R'_b * \left(2\epsilon'_b - \frac{\epsilon'_b{}^2}{\epsilon'_{bp}} \right) \frac{1}{\epsilon'_{bp}} && \text{para } 0 \leq \epsilon'_b \leq \epsilon'_{bp} \\ \sigma'_b &= 0,85R'_b * && \text{para } \epsilon'_b \geq \epsilon'_{bp} \end{aligned} \quad (2)$$

As equações 1 e 2 definem a distribuição de tensões nesta seção, isto é:

$$\begin{aligned} \sigma'_b &= 0 && \text{para } \beta \leq \beta_1 \\ \sigma'_b &= 0,85R'_b * \left[k_1 \left(2 - \frac{k_1}{\epsilon'_{bp}} \right) + \right. \\ &+ 2k_2 \left(1 - \frac{k_1}{\epsilon'_{bp}} \right) \text{sen} \beta - \\ &\left. - \frac{k_2^2}{\epsilon'_{bp}} \text{sen}^2 \beta \right] \frac{1}{\epsilon'_{bp}} && \text{para } \beta_1 \leq \beta \leq \beta_2 \\ \sigma'_b &= 0,85R'_b * && \text{para } \beta \geq \beta_2 \end{aligned} \quad (3)$$

Os limites β_1 e β_2 são os valores de β correspondentes às deformações $\epsilon'_b = 0$ e $\epsilon'_b = \epsilon'_{bp}$ (eq. 1).

Para que seja verificado o equilíbrio de forças nesta seção (fig.10), deve-se ter:

14.

$$N'_b = \int_{-\pi/2}^{\pi/2} \sigma'_b \frac{d^2 e}{2} \cos^2 \beta d\beta$$

$$M'_b = \int_{-\pi/2}^{\pi/2} \sigma'_b \frac{d^3 e}{4} \operatorname{sen} \beta \cos^2 \beta d\beta$$

Expressando σ'_b em função de β (eq. 3) e efetuando as integrações, tem-se:

$$N'_b = 0,85 R'_b \star \frac{\pi d^2 e}{4} F_1$$

$$M'_b = 0,85 R'_b \star \frac{\pi d^3 e}{4} F_3$$
(4)

onde:

$$F_1 = \frac{1}{\pi} \left\{ \left[B_1 \left(\beta + \frac{\operatorname{sen} 2\beta}{2} \right) - 2B_2 \frac{\cos^3 \beta}{3} + \frac{B_3}{4} \left(\beta - \frac{\operatorname{sen} 4\beta}{4} \right) \right]_{\beta_2}^{\beta_1} + \left[\beta + \frac{\operatorname{sen} 2\beta}{2} \right]_{\beta_2}^{\pi/2} \right\}$$

$$F_2 = \frac{1}{\pi} \left[-B_1 \frac{\cos^3 \beta}{3} + \frac{B_2}{8} \left(\beta - \frac{\operatorname{sen} 4\beta}{4} \right) - B_3 \frac{\cos^3 \beta}{5} \left(\operatorname{sen}^2 \beta + \frac{2}{3} \right) \right]_{\beta_1}^{\beta_2} - \left[\frac{\cos^3 \beta}{3} \right]_{\beta_2}^{\pi/2}$$

(5)

$$B_1 = \frac{k_1}{\epsilon_{bp}} \left(2 - \frac{k_1}{\epsilon_{bp}} \right)$$

$$B_2 = \frac{2k_2}{\epsilon_{bp}} \left(1 - \frac{k_1}{\epsilon_{bp}} \right)$$

$$B_3 = - \left(\frac{k_2}{\epsilon_{bp}} \right)^2$$

2.2.2 - Armadura

Sejam ϵ'_{as} e ϵ'_{ai} as deformações normais máxima e mínima em uma seção da armadura. De acordo com a hipótese (a) a distribuição das deformações normais nesta seção é expressa por (fig. 11):

$$\epsilon'_a = k_3 + k_4 \operatorname{sen} \alpha \quad (6)$$

onde:

$$k_3 = \frac{\epsilon'_{as} + \epsilon'_{ai}}{2}$$

$$k_4 = \frac{\epsilon'_{as} - \epsilon'_{ai}}{2}$$

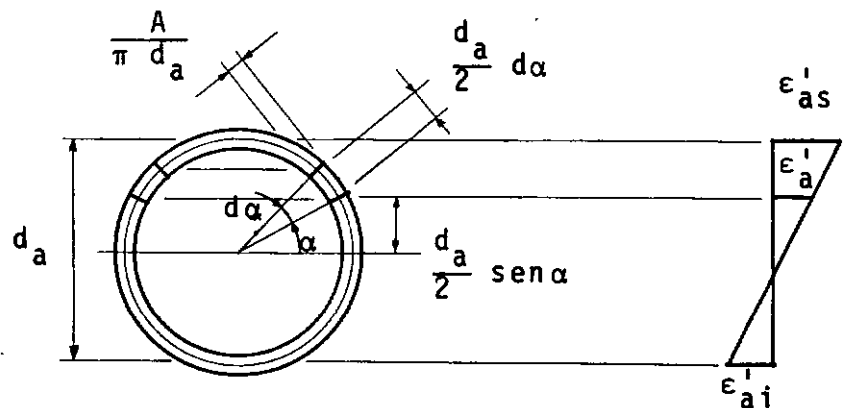


Fig. 11

De acordo com a hipótese (d), a relação entre tensões e deformações normais na armadura é expressa por:

$$\begin{aligned} \sigma'_a &= \sigma'_j && \text{para } \epsilon'_a \leq \epsilon'_j \\ \sigma'_a &= \sigma'_j + \frac{\sigma'_{j+1} - \sigma'_j}{\epsilon'_{j+1} - \epsilon'_j} (\epsilon'_a - \epsilon'_j) && \text{para } \epsilon'_j \leq \epsilon'_a \leq \epsilon'_{j+1}, \\ &&& j = 1, n \\ \sigma'_a &= \sigma'_{n+1} && \text{para } \epsilon'_a \geq \epsilon'_{n+1} \end{aligned} \quad (7)$$

Os valores de σ'_j e ϵ'_j estão indicados nas figuras 5 e 6, com $n = 1$ para o aço CA-24 e $n = 5$ para os aços CA-40 e CA-50.

As equações 6 e 7 definem a distribuição de tensões nesta seção, isto é:

$$\begin{aligned} \sigma'_a &= \sigma'_j && \text{para } \alpha \leq \alpha_j \\ \sigma'_a &= \sigma'_j + \frac{\sigma'_{j+1} - \sigma'_j}{\epsilon'_{j+1} - \epsilon'_j} (k_4 \text{sen} \alpha + k_3 - \epsilon'_j) && \text{para } \alpha_j \leq \alpha \leq \alpha_{j+1} \\ &&& j = 1, n \\ \sigma'_a &= \sigma'_{n+1} && \text{para } \alpha \geq \alpha_{n+1} \end{aligned} \quad (8)$$

Os limites α_j são os valores de α corresponden-

tes às deformações $\varepsilon'_a = \varepsilon'_j$ (eq.6).

Para que seja verificado o equilíbrio de forças nesta seção (fig.11), deve-se ter:

$$N'_a = \int_{-\pi/2}^{\pi/2} \sigma'_a \frac{A}{\pi} d\alpha$$

$$M'_a = \int_{-\pi/2}^{\pi/2} \sigma'_a \frac{A d_a}{2\pi} \text{sen}\alpha d\alpha$$

Exprimindo σ'_a em função de α (eq.8) e efetuando as integrações, tem-se:

$$\begin{aligned} N'_a &= R_a^* A F_3 \\ M'_a &= R_a^* A d_e F_4 \end{aligned} \tag{9}$$

onde:

$$\begin{aligned} F_3 &= \frac{1}{\pi R_a^*} \left\{ \sigma'_1 \alpha_1 - \sigma'_{n+1} \alpha_{n+1} + \right. \\ &+ \sum_{j=1}^n \left[C_j (\alpha_{j+1} - \alpha_j) - \right. \\ &\left. \left. - D_j (\text{cos}\alpha_{j+1} - \text{cos}\alpha_j) \right] \right\} \end{aligned}$$

$$\begin{aligned}
 F_4 = \frac{1}{\pi R_a^*} & \left\{ -\sigma_1' \cos \alpha_1 + \sigma_{n+1}' \cos \alpha_{n+1} + \right. \\
 & + \sum_{j=1}^n \left[-\frac{C_j}{2} (\cos \alpha_{j+1} - \cos \alpha_j) + \right. \\
 & + \frac{D_j}{4} (\alpha_{j+1} - \alpha_j - \frac{\sin 2\alpha_{j+1}}{2} + \\
 & \left. \left. + \frac{\sin \alpha_j}{2}) \right] \right\} \quad (10)
 \end{aligned}$$

$$C_j = \sigma_j' + \frac{\sigma_{j+1}' - \sigma_j'}{\epsilon_{j+1}' - \epsilon_j'} (k_3 - \epsilon_j')$$

$$D_j = \frac{\sigma_{j+1}' - \sigma_j'}{\epsilon_{j+1}' - \epsilon_j'} k_4$$

2.2.3 - Seções de concreto armado em forma de círculo ou coroa circular

Sejam ϵ_s' e ϵ_i' as deformações máxima e mínima em uma seção de concreto armado em forma de coroa circular. De acordo com a hipótese (a), as deformações normais extremas na armadura e no perímetro interno da seção são expressas por (fig. 12):

$$\epsilon_{1s}' = \left(1 + \frac{d}{d_e}\right) \frac{\epsilon_s' - \epsilon_i'}{2} + \epsilon_i'$$

$$\epsilon'_{1i} = \epsilon'_s + \epsilon'_i - \epsilon'_{1s}$$

$$\epsilon'_{2s} = \left(1 + \frac{d_i}{d_e}\right) \frac{\epsilon'_s - \epsilon'_i}{2} + \epsilon'_i$$

$$\epsilon'_{2i} = \epsilon'_s + \epsilon'_i - \epsilon'_{2s}$$

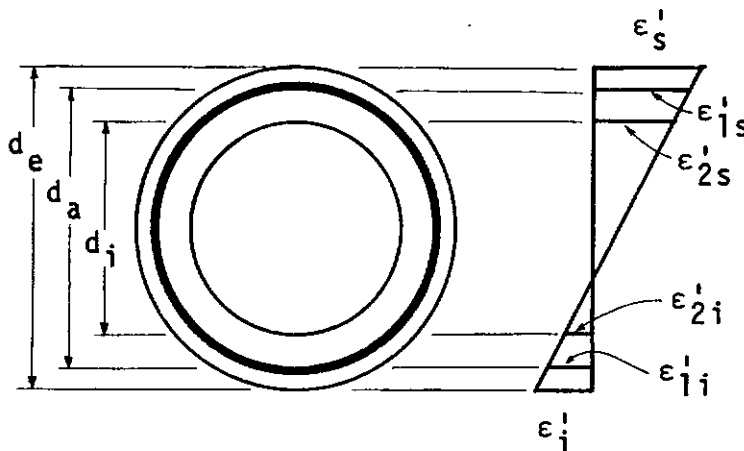


Fig.12

Superpondo as parcelas dos esforços solicitantes relativos ao concreto (eq.4) e à armadura (eq.9), tem-se:

$$N' = 0,85R'_b \cdot \frac{\pi}{4} (d_e^2 F'_1 - d_i^2 F''_1) + R'_a \cdot A \cdot F'_3$$

$$M = 0,85R'_b \cdot \frac{\pi}{4} (d_e^3 F'_2 - d_i^3 F''_2) + R'_a \cdot A \cdot d_a \cdot F'_4$$

onde:

20.

F_1' e F_2' são expressas pelas equações 5, tomando-se $\epsilon_{bs}' = \epsilon_s'$ e $\epsilon_{bi}' = \epsilon_i'$

F_1'' e F_2'' são expressas pelas equações 5, tomando-se $\epsilon_{bs}' = \epsilon_{2s}'$ e $\epsilon_{bi}' = \epsilon_{2i}'$

F_3 e F_4 são expressas pelas equações 10, tomando-se $\epsilon_{as}' = \epsilon_{1s}'$ e $\epsilon_{ai}' = \epsilon_{1i}'$

Exprimindo o esforço normal e o momento fle_{tor} através das relações adimensionais

$$n' = \frac{N}{0,85R_b' * B} \quad e$$

$$m = \frac{M}{0,85R_b' * B d_e} \quad ,$$

onde $B = \pi \frac{d_e^2 - d_i^2}{4}$ (área da seção transversal),

tem-se:

$$n' = \frac{F_1' - \frac{d_i^2}{d_e^2} F_1''}{1 - \frac{d_i^2}{d_e^2}} + p F_3' \quad (11)$$

$$m = \frac{F_2' - \frac{d_i^3}{d_e^3} F_2''}{1 - \frac{d_i^2}{d_e^2}} + p \frac{d_a}{d_e} F_4' \quad (12)$$

onde:

$$p = \frac{R_a^* A}{0,85 R_b' * B} \quad (\text{taxa mecânica de armadura})$$

As seções circulares de concreto armado podem ser consideradas um caso particular onde $\frac{d_i}{d_e} = 0$.

2.3 - Resistência da Seção Transversal

As diversas combinações de esforço normal e momento fletor que provocam o esgotamento da capacidade resistente das seções transversais em estudo podem ser determinadas através das expressões 11 e 12, calculando os esforços solicitantes correspondentes às distribuições de deformações normais esquematizadas na fig. 6 (ver hipótese b).

Como as hipóteses do item 2.1 foram estabelecidas pelo CEB-FIP de modo a indicarem uma resistência menor que a real, tanto para carregamentos de curta quando de longa duração, podemos considerar que a resistência das seções transversais independe da duração do carregamento.

22.

2.4 - Esforços solicitantes em função da curvatura e da deformação normal média

Consideremos um trecho compreendido entre duas seções transversais muito próximas de uma coluna. Após a deformação, como a curvatura pode ser considerada constante neste trecho, tem-se (fig. 13):

$$\Delta\phi = \frac{\overline{BB'}}{R} = \frac{\overline{AA'}}{R - \frac{d_e}{2}} = \frac{\overline{CC'}}{R + \frac{d_e}{2}}$$

logo:

$$\frac{1}{R} = \frac{\overline{CC'} - \overline{AA'}}{d_e}$$

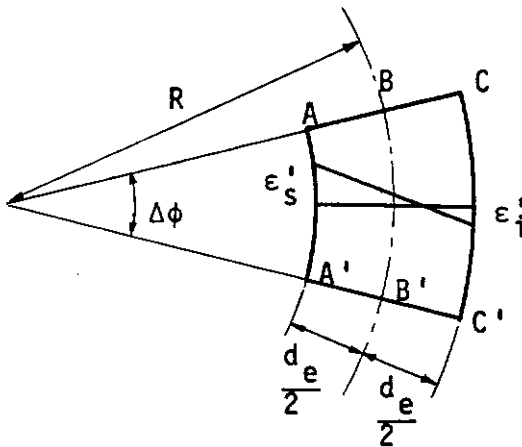


Fig. 13

Sendo ΔL o comprimento inicial deste trecho e como o esforço normal e o momento fletor também podem ser considerados constantes, tem-se:

$$\overline{AA'} = (1 - \epsilon'_s)\Delta L$$

$$\overline{BB'} = \left(1 - \frac{\epsilon'_s + \epsilon'_i}{2}\right)\Delta L$$

$$\overline{CC'} = (1 - \epsilon'_i)\Delta L$$

logo:

$$\frac{1}{R} = \frac{\epsilon'_s - \epsilon'_i}{\left(1 - \frac{\epsilon'_s + \epsilon'_i}{2}\right)d_e}$$

Expressando a curvatura através da relação adimensional $k = \frac{d_e}{R}$:

$$k = \frac{\epsilon'_s - \epsilon'_i}{1 - \epsilon'_m} \quad (13)$$

onde:

$$\epsilon'_m = \frac{\epsilon'_s + \epsilon'_i}{2} \quad (\text{deformação média}) \quad (14)$$

Expressando ϵ'_s e ϵ'_i em função da curvatura e da deformação média e substituindo nas equações 11 e 12, obtêm-se:

$$n' = n'(k, \epsilon'_m) \quad (15)$$

$$m = m(k, \epsilon'_m) \quad (16)$$

24.

2.5 - Colunas solicitadas por cargas axiais centradas

A capacidade de carga das colunas solicitadas por cargas axiais centradas deve ser determinada de acordo com a teoria de Engesser-Shanley (teoria do m3dulo de elasticidade tangente), uma vez que se considera que, nos diagramas tens3o - deforma3o, a curva de descarga coincide com a de carga.

Consideremos uma coluna de material el3stico n3o-linear solicitada a compress3o simples (fig.14.a). A teoria de Engesser-Shanley baseia-se no fato de que, para curvaturas muito pequenas, as tens3es podem ser consideradas proporcionais 3s deforma33es normais das se33es (fig.14 .b), isto 3, $\sigma' = E_t \epsilon'$, onde E_t 3 o m3dulo de elasticidade tangente do material (fig. 14.c). A carga correspondente 3 bifurca33o do equi-l3brio pode ser calculada pela f3rmula de Euler, uma vez que a coluna se comporta como as de material el3stico linear. Assim, tem-se:

$$N'_{crit} = \pi^2 \frac{E_t I}{L^2}$$

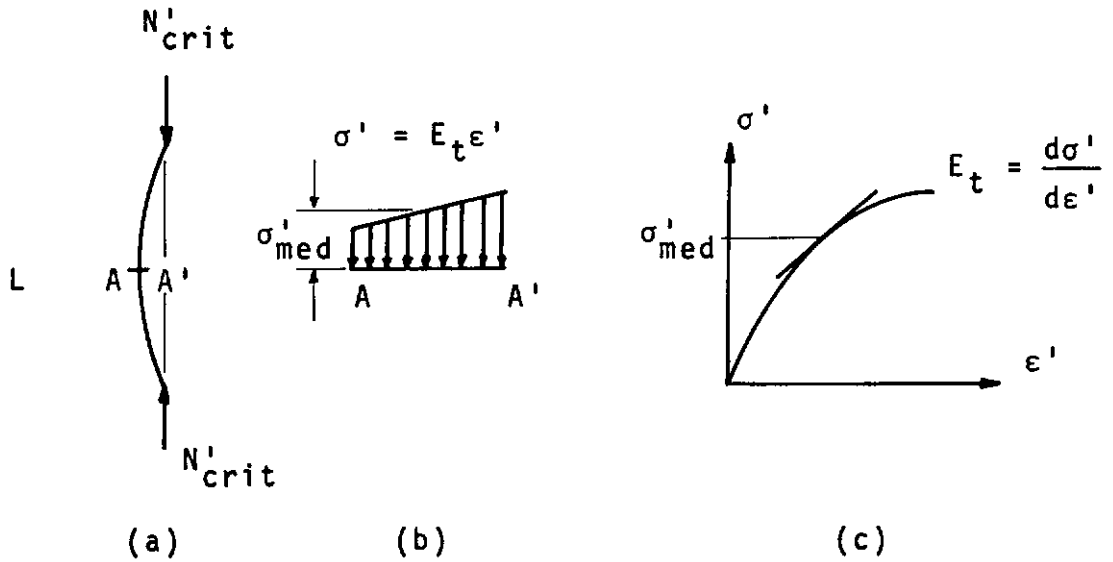


Fig. 14

O valor de N'_{crit} não pode ser obtido diretamente da eq. 17 porque E_t é função da tensão média e, portanto, da carga axial.

Como $E_t I$ é a rigidez à flexão da coluna, tem-se:

$$E_t I = \frac{M}{1/R}$$

Logo:

$$N'_{crit} = \frac{\pi^2}{L^2} \frac{M}{1/R}$$

Exprimindo esta equação em função das variáveis adimensionais anteriormente adotadas, tem-se:

$$n'_{crit} = \frac{\pi^2}{\ell^2} \frac{m}{k} \quad (18)$$

$$\ell = \frac{L}{d_e} \text{ (esbeltez da coluna)}$$

Sejam n'_i e m_i o esforço normal e o momento fletor correspondentes a uma curvatura k_Δ muito pequena e a uma deformação média ϵ'_{m_i} arbitrada (eqs. 15 e 16). De acordo com a eq. 18, a esbeltez associada à carga crítica n'_i é expressa por:

$$\ell = \pi \sqrt{\frac{m_i}{k_\Delta n'_i}}$$

Procedendo desta forma para diversas deformações médias, podemos determinar as curvas esbeltez-carga crítica correspondentes às seções examinadas (fig. 15). As discontinuidades observadas nestas curvas devem-se às discontinuidades angulares dos diagramas tensão-deformação adotados para os aços. Os valores convenientes de n'_{crit} podem ser deduzidos através de interpolações lineares.

A escolha de k_Δ exige certo cuidado. A curvatura deve ser suficientemente pequena para a rigidez calculada $\frac{m_i}{k_\Delta}$ possa ser confundida com $E_t I$ e suficientemente grande para evitar erros apreciáveis de truncamento. O valor $k_\Delta = 10^{-6}$ mostrou-se satisfatório para cálculos realizados com 10 algarismos significativos (computador IBM-1130 operando com precisão expandida).

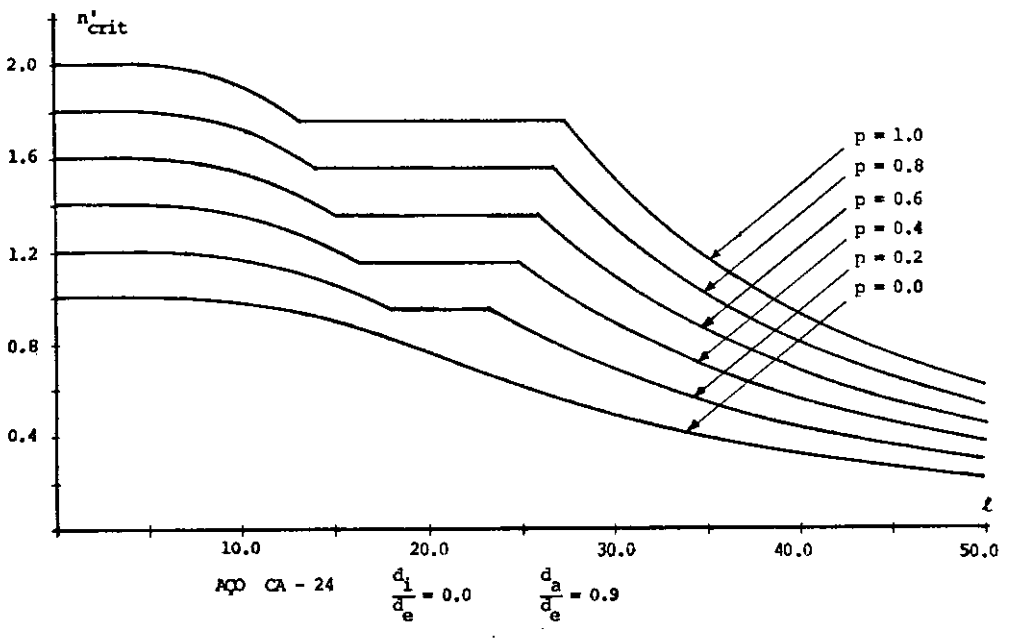


Fig. 15

2.6 - Colunas solicitadas por cargas axiais excêntricas

2.6.1 - Curvas momento-curvatura

As equações 15 e 16 definem as curvas momento-curvatura de uma seção, isto é, as curvas que relacionam o momento fletor com a curvatura, para valores constantes do esforço normal. Como não é possível explicitar as suas equações, elas devem ser determinadas por pontos.

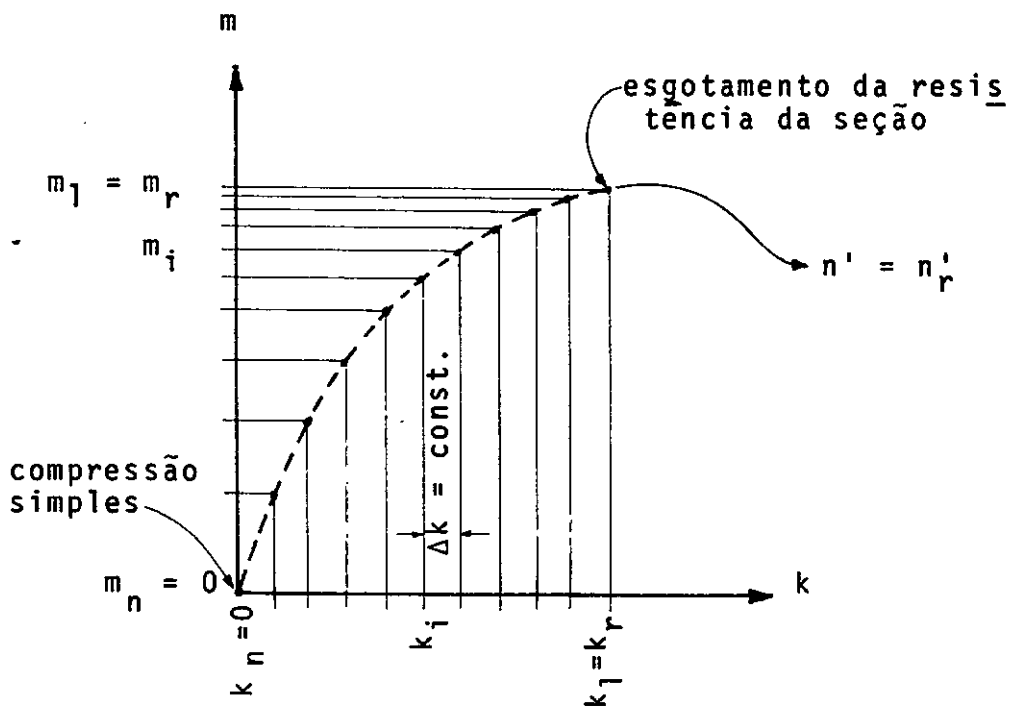


Fig. 16

Sejam n'_r , m_r , k_r e $\epsilon'_{m,r}$ o esforço normal, o momento fletor, a curvatura e a deformação média correspondentes a uma distribuição de deformações normais arbitrada de acordo com a hipótese (b) (eqs. 11, 12, 13 e 14). Os pontos extremos da curva momento-curvatura correspondente a n'_r (ver fig. 16) são $m_1 = m_r$, $k_1 = k_r$ (esgotamento da resistência da seção transversal) e $m_n = 0$, $k_n = 0$ (compressão simples). Os demais pontos devem ser determinados arbitrando valores k_i para a curvatura e determinando as deformações médias $\epsilon'_{m,i}$, que satisfazem a equação

$$n' = n'(k_i, \epsilon'_m) \quad (19)$$

no ponto $n' = n'_r$

Com os valores k_i e $\epsilon'_{m,i}$, determinam-se os momentos fletores m_i através da eq. 16.

A equação $n'_r = n'(k_i, \epsilon'_m)$ pode ser resolvida pelo processo iterativo de Newton-Raphson¹⁰, que descrevemos a seguir.

Seja \bar{n}' o esforço normal correspondente a uma deformação média $\bar{\epsilon}'_m$. Expandindo a equação 19 no ponto $n' = \bar{n}'$ em série de Taylor e considerando apenas o termo linear:

$$n'_r = \bar{n}' + \left[\frac{dn'}{d\epsilon'_m} \right]_{\epsilon'_m = \bar{\epsilon}'_m} \delta\epsilon'_m \quad (20)$$

onde $\delta\epsilon'_m$ é o acréscimo que se deve dar a $\bar{\epsilon}'_m$ para obter a de-

30.

formação média correspondente a n'_r .

Conhecida a derivada da curva no ponto $\epsilon'_m = \bar{\epsilon}'_m$, este acréscimo pode ser calculado pela equação 20. A deformação média procurada seria, então: $\epsilon'_{m,ap} = \epsilon'_m + \delta\epsilon'_m$

Devido à aproximação envolvida na eq. 20, o valor $\epsilon'_{m,ap}$ assim calculado não deve ser o correto, o que pode ser verificado pela eq.19, calculando o esforço normal n'_{ap} correspondente a esta deformação média. Se a aproximação desejada não foi alcançada, inicia-se novo ciclo com $\bar{n}' = n'_{ap}$ e $\bar{\epsilon}'_m = \epsilon'_{m,ap}$.

Este processo converge rapidamente desde que $\bar{\epsilon}'_m$ seja suficientemente próximo do valor correto. Adotando $\bar{\epsilon}'_m = \epsilon'_{m,i-1}$ (observe-se que $\epsilon'_{m,l} = \epsilon'_{m,r}$) para a determinação de m_i , verificou-se que é necessário uma média de 3 ciclos para se conseguir um erro menor que $n'_r \cdot 10^{-5}$.

A derivada envolvida na eq. 18 pode ser determinada calculando o esforço normal n'_Δ correspondente a $\bar{\epsilon}'_m + \Delta\epsilon'_m$ e considerando que:

$$\left[\frac{dn'}{d\epsilon'_m} \right]_{\epsilon'_m = \bar{\epsilon}'_m} = \frac{n'_\Delta - \bar{n}'}{\Delta\epsilon'_m}$$

A definição deste acréscimo exige certo cuidado. Ele deve ser suficientemente pequeno para que a secante possa ser confundida com a tangente e suficientemente grande para evitar erros de truncamento apreciáveis na operação $\frac{n'_\Delta - \bar{n}'}{\Delta \epsilon'_m}$. A seguinte expressão para a definição de $\Delta \epsilon'_m$ mostrou-se satisfatória para cálculos realizados com 10 algarismos significativos:

$$\Delta \epsilon'_m = \bar{\epsilon}'_m \cdot 10^{-3} + 10^{-7}$$

onde o termo 10^{-7} destina-se a evitar que o acréscimo se anule quando $\bar{\epsilon}'_m = 0$.

Apresentamos na fig. 17 a interpretação geométrica do método utilizado.

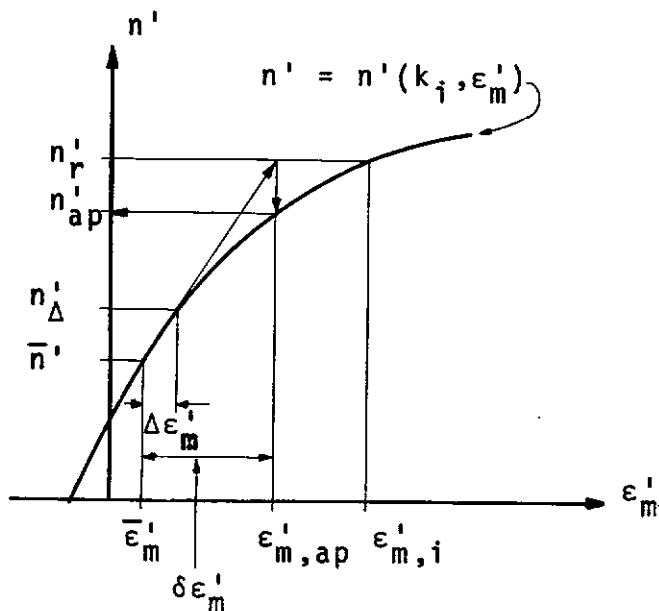


Fig. 17

2.6.2 - Deformadas de colunas solicitadas por cargas axiais centradas

Consideremos a deformada fletida em equilíbrio de uma coluna solicitada por cargas axiais centradas (fig. 18). Ao longo desta deformada, o esforço normal, o momento fletor e a curvatura são expressos por:

$$N' = \frac{N'_0}{[1 + (Y')^2]^{1/2}}$$

$$M = N'_0 \cdot Y$$

$$\frac{1}{R} = - \frac{Y''}{[1 + (Y')^2]^{3/2}}$$

Adotando as simplificações relativas a pequenas deformações e exprimindo estas equações em função das variáveis adimensionais anteriormente adotadas, tem-se:

$$n' = n'_0 \quad (21)$$

$$m = n'_0 \cdot y \quad (22)$$

$$k = - y'' \quad (23)$$

onde:

$$n'_0 = \frac{N'_0}{0,85R'_b * B}$$

$$x = \frac{X}{d_e}$$

$$y = \frac{Y}{d_e}$$

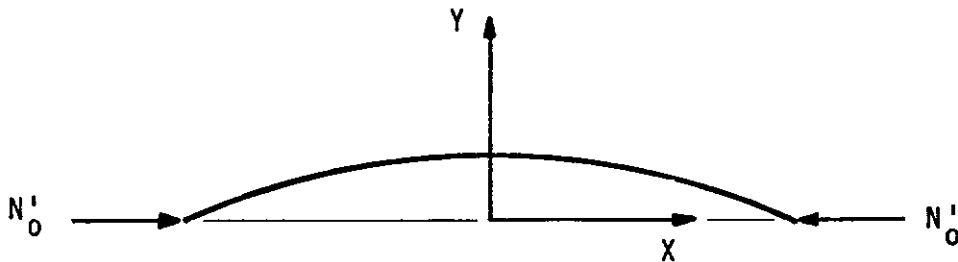


Fig. 18

Como o esforço normal pode ser considerado constante ao longo da deformada (eq. 21), a curva que representa a sua equação diferencial

$$y'' = \Psi(y) \quad (24)$$

pode ser deduzida (utilizando as eqs. 22 e 23) da curva momento - curvatura cujo parâmetro é igual à carga axial aplicada \$n'_0\$.

34.

As soluções desta equação diferencial devem ser determinadas considerando as seguintes condições de contorno, onde $y_{\bar{m}\bar{a}x}$ é a flecha máxima da deformada:

$$[x]_{y=y_{\bar{m}\bar{a}x}} = 0$$

$$[y']_{y=y_{\bar{m}\bar{a}x}} = 0$$

(25)

Variando o valor de $y_{\bar{m}\bar{a}x}$, obtêm-se as deformadas relativas a colunas com diversos comprimentos.

Para obtenção destas soluções, consideremos que y'' varia linearmente com y entre cada dois pontos consecutivos da curva. Em um trecho genérico j (ver fig. 19), a equação 24 assume, então, a forma $-y'' = a_j y + b_j$

onde:

$$a_j = - \frac{y''_j - y''_{j+1}}{y_j - y_{j+1}}$$

$$b_j = - y''_j - a_j y_j$$

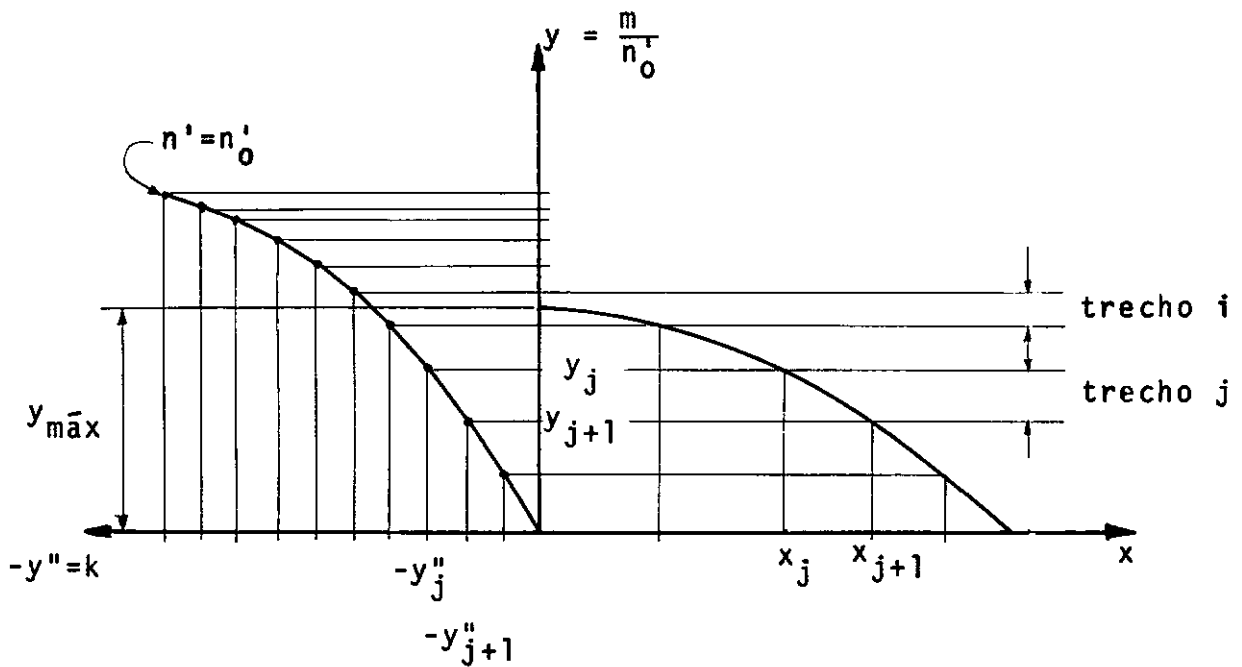


Fig. 19

A solução geral desta equação diferencial é:

$$y = c_j \cos(\sqrt{a_j} x) + d_j \operatorname{sen}(\sqrt{a_j} x) - \frac{b_j}{a_j}$$

Definidas as condições de contorno

$$[x]_{y=y_j} = x_j \quad \text{e}$$

$$[y']_{y=y_j} = y'_j \quad ,$$

as constantes c_j e d_j são dadas por:

36.

$$c_j = \left(y_j + \frac{b_j}{a_j}\right) \cos(\sqrt{a_j} x_j) - \frac{y_j'}{\sqrt{a_j}} \sin(\sqrt{a_j} x_j)$$

$$d_j = \left(y_j + \frac{b_j}{a_j}\right) \sin(\sqrt{a_j} x_j) + \frac{y_j'}{\sqrt{a_j}} \cos(\sqrt{a_j} x_j)$$

(26)

As condições de contorno do trecho seguinte

são:

$$x_{j+1} = \frac{2}{\sqrt{a_j}} \operatorname{arctg} \frac{d_j + \sqrt{d_j^2 + c_j^2 - \left(y_{j+1} + \frac{b_j}{a_j}\right)^2}}{y_{j+1} + \frac{b_j}{a_j} + c_j}$$

$$y_{j+1}' = \sqrt{a_j} \left[-c_j \sin(\sqrt{a_j} x_{j+1}) + d_j \cos(\sqrt{a_j} x_{j+1}) \right]$$

(27)

As constantes c_j e d_j (eq. 26) do trecho inicial da deformada (trecho i da fig. 19) podem ser determinadas utilizando as condições de contorno expressas pelas eq. 25. As condições de contorno do próximo trecho podem, então, ser calculadas pelas eq. 27. Procedendo desta forma até o último trecho, completamos a determinação da deformada, uma vez que ela é simétrica em relação ao eixo y .

2.6.3 - Capacidade de carga

Consideremos um trecho de comprimento ℓ de uma das deformadas associadas à carga axial centrada n'_0 (fig. 20). Desprezando o encurtamento axial e considerando as aproximações relativas a pequenas deformações, podemos considerar que este trecho representa a deformada de uma coluna simplesmente apoiada de comprimento ℓ , quando solicitada por cargas axiais de intensidade n'_0 e excentricidades $e_1 = y_1$ e $e_2 = y_2$.

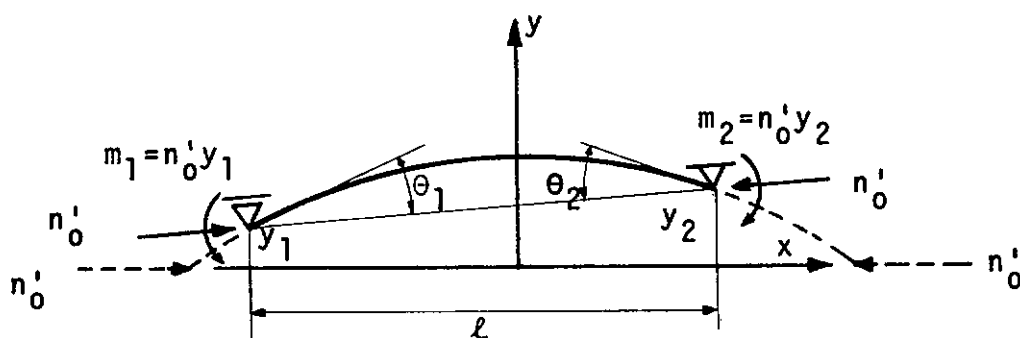


Fig. 20

Determinando trechos de comprimento ℓ nas diversas deformadas associadas a n'_0 tais que $\frac{y_1}{y_2} = c \frac{te}{e}$, obtêm-se as deformadas assumidas por uma coluna de comprimento ℓ quando solicitada por cargas axiais de intensidade n'_0 e excentricidades que variam mantendo uma relação constante. Indicamos na fig. 21 os casos onde

$$\frac{e_1}{e_2} = 1, \quad \frac{e_1}{e_2} = 0 \quad \text{e} \quad \frac{e_1}{e_2} = -1.$$

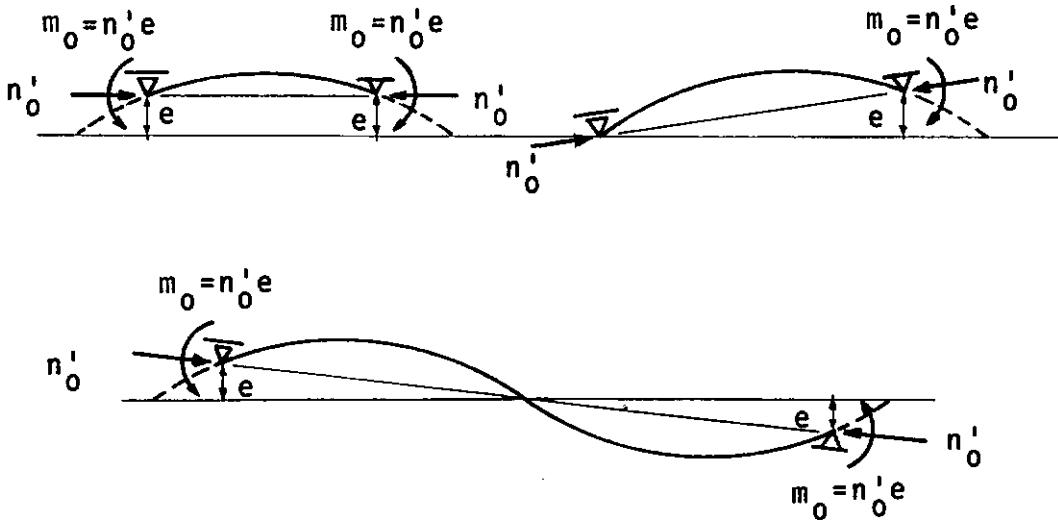


Fig. 21

O comportamento destas colunas pode ser examinado relacionando o crescimento das excentricidades com a rotação de uma das extremidades (fig. 22). O trecho da curva onde $\frac{de}{d\theta} > 0$ indica as deformadas em equilíbrio estável e $\frac{de}{d\theta} < 0$ as em equilíbrio instável. Verificam-se dois tipos de comportamento. No primeiro a coluna é sempre estável, e a excentricidade da carga é, portanto, limitada pela resistência da seção transversal (curva a da fig. 22). No segundo a coluna apresenta instabilidade do equilíbrio, quando a excentricidade atinge, então, o seu valor máximo (curva b). O comportamento destas colunas

tende do primeiro para o segundo tipo $\bar{\alpha}$ medida que n'_0 , ℓ ou $\frac{e_1}{e_2}$ cresce (e_2 sendo a excentricidade de maior valor absoluto).

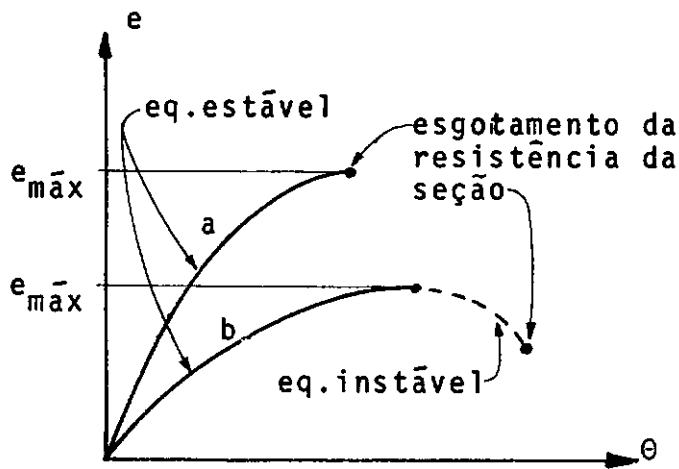


Fig. 22

As colunas solicitadas por carregamentos onde $\frac{e_1}{e_2} = -1$ exigem um tratamento especial. Como o momento \bar{e} nulo no centro destas colunas, o seu comportamento seria idêntico ao de uma coluna com a metade do comprimento, quando solicitadas por cargas axiais de mesma intensidade e excentricidades que variam mantendo a relação $\frac{e_1}{e_2} = 0$ (curva OAB da fig. 23). Estas colunas ($\frac{e_1}{e_2} = -1$) apresentam, porém, uma bifurcação de equilíbrio associada à tendência de se passar de uma deformada com dupla curvatura para outra com curvatura simples (ramo AC).

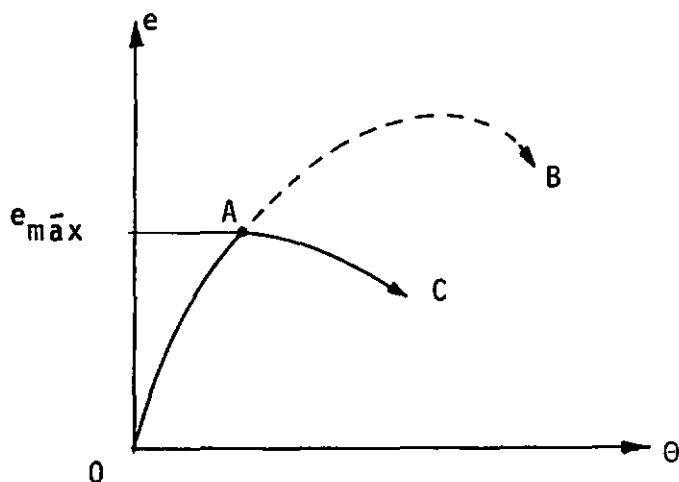


Fig. 23

As informações relativas ao ramo AC podem ser determinadas na deformada associada à carga axial cujo comprimento total \bar{e} é igual ao da coluna examinada. Esta deformada se caracteriza pelo fato de que, qualquer que seja o trecho escolhido, as excentricidades mantêm sempre a relação $\frac{e_1}{e_2} = -1$ (fig. 24). A excentricidade correspondente à bifurcação do equilíbrio \bar{e} numericamente igual à flecha central desta deformada.

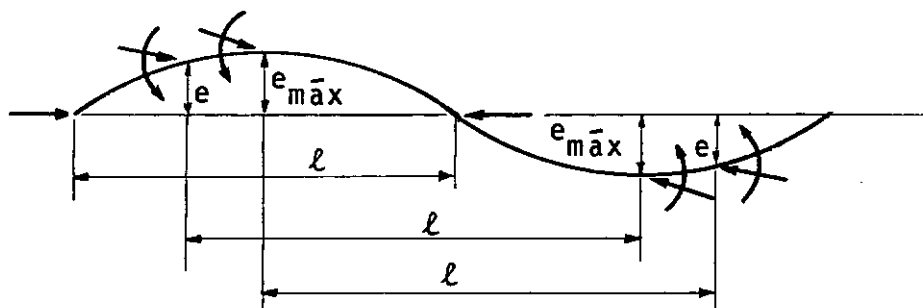


Fig. 24

Para a determinação de uma deformada de comprimento total l , podemos utilizar o seguinte processo iterativo:

- Entre as diversas deformadas associadas à carga axial considerada, determinam-se as que têm comprimentos imediatamente superior e inferior ao fixado. Define-se assim um intervalo de variação para $y_{m\bar{a}x}$, no interior do qual está o valor correspondente ao comprimento fixado.
- Utilizando o procedimento estabelecido no item 2.6.2, calcula-se o comprimento da deformada cuja flecha máxima é o valor médio do intervalo.
- Comparando este comprimento com o fixado, obtêm-se um novo intervalo, metade do anterior.
- Repetem-se os itens (b) e (c) até alcançar a aproximação desejada.

Nas deformadas assim determinadas verifica-se que uma diminuição na carga axial corresponde a um aumento da

42.

flecha central, o que significa que o equilíbrio das deformadas indicadas na fig. 24 é instável. A excentricidade correspondente à bifurcação do equilíbrio é, portanto, a excentricidade máxima aplicável a estas colunas.

2.7 - Carregamentos de Longa Duração

Como a deformação lenta do concreto não foi considerada, o processo desenvolvido nos itens anteriores para a análise do efeito de 2a. ordem só é válido para carregamentos de curta duração.

Este processo pode, entretanto, ser estendido para uma análise aproximada dos carregamentos de longa duração pela simples inclusão da deformação lenta final no diagrama tensão-deformação do concreto, isto é substituindo o parâmetro $\epsilon'_{bp} = 2/1000$ deste diagrama (ver fig. 7) por $\epsilon'_{bp} = (1 + \phi) 2/1000$, onde ϕ é a relação entre a deformação lenta final e a instantânea. Esta aproximação tende a superestimar o efeito de 2a. ordem porque a deformação lenta é considerada em função das tensões finais da coluna.

Para que o processo possa ser repetido para o novo valor de ϵ'_{bp} , resta indicar como foram determinados os pontos finais das curvas momento-curvatura (esgotamento da resistência da seção transversal).

Para o novo valor de ϵ'_{bp} , a curvatura k_r e a deformação média $\epsilon'_{m,r}$ correspondentes a n'_r e m_r não são conhecidas uma vez que a hipótese relativa à resistência da seção transversal (hipótese b) está associada ao diagrama do concreto para solicitações de curta duração ($\epsilon'_{bp} = 2/1000$).

Os novos valores de k_r e $\epsilon'_{m,r}$ foram determinados resolvendo numericamente o seguinte sistema de equações:

$$n'_r = n'(k, \epsilon'_m)$$

$$m_r = m(k, \epsilon'_m)$$

(28)

Utilizou-se o processo iterativo de Newton-Raphson¹⁰ para solução de sistemas de equações, que se descreve a seguir:

Sejam \bar{n}' e \bar{m} o esforço normal e o momento fletor correspondentes a uma curvatura \bar{k} e a uma deformação média $\bar{\epsilon}'_m$, calculados através das eq. 15 e 16. Expandindo as eq. 28 nos pontos $n' = \bar{n}'$ e $m = \bar{m}$ em séries de Taylor e considerando apenas os termos lineares, têm-se:

$$n'_r = \bar{n}' + \left[\frac{\partial n'}{\partial k} \right]_{k=\bar{k}} \delta k + \left[\frac{\partial n'}{\partial \epsilon'_m} \right]_{\epsilon'_m = \bar{\epsilon}'_m} \delta \epsilon'_m$$

$$m_r = \bar{m} + \left[\frac{\partial m}{\partial k} \right]_{k=\bar{k}} \delta k + \left[\frac{\partial m}{\partial \epsilon'_m} \right]_{\epsilon'_m = \bar{\epsilon}'_m} \delta \epsilon'_m$$

(29)

onde δk e $\delta \epsilon'_m$ são os acréscimos que se devem dar a \bar{k} e $\bar{\epsilon}'_m$ para obter a deformação média e a curvatura correspondentes a n'_r e m_r .

Procede-se, então, de modo análogo ao indicado no item 2.6.1, observando que os valores k_r e $\epsilon'_{m,r}$ daquele item foram adotados como valores iniciais de \bar{k} e $\bar{\epsilon}'_m$. Verificou-se que é necessário uma média de 6 ciclos para se conseguir erros menores que $n'_r \cdot 10^{-5}$ e $m_r \cdot 10^{-5}$.

CAPITULO III

APLICAÇÃO

O processo de cálculo desenvolvido no capítulo anterior foi programado para a utilização de um computador na elaboração de âbacos destinados ã determinação da capacidade de carga das colunas em estudo.

A primeira parte do programa cuja listagem apresentamos no Apêndice destina-se ao cálculo e traçado das curvas que representam as diversas combinações de esforço normal e momento fletor que provocam o esgotamento da capacidade resistente das seções transversais (ver item 2.3). Estas curvas são apresentadas na forma de âbacos cujos parâmetros são o tipo do aço da armadura longitudinal e as relações $\frac{d_i}{d_e}$ e $\frac{d_a}{d_e}$. Cada curva destes âbacos refere-se a uma determinada taxa de mecânica de armadura. Apresentamos um destes âbacos na fig. 25.

A capacidade de carga das colunas curtas pode ser determinada através destes âbacos, independentemente do tipo e da duração do carregamento, já que a redução de resistência devida ã deformação destas colunas pode ser desprezada.

46.

A segunda parte do programa destina-se ao cálculo e traçado das curvas que representam as diversas combinações de cargas axiais e momentos que, quando aplicados às extremidades das colunas, provocam o esgotamento da sua capacidade de carga. O programa s̄o examina os casos onde $\frac{e_1}{e_2} = 1$, $\frac{e_1}{e_2} = 0$ e $\frac{e_1}{e_2} = -1$ (ver fig. 21).

Estas curvas s̄o apresentadas na forma de ābacos cujos parâmetros s̄o o tipo do aço e a taxa mecânica da armadura longitudinal e as relaēões $\frac{d_i}{d_e}$, $\frac{d_a}{d_e}$ e $\frac{e_1}{e_2}$. Cada curva destes ābacos refere-se a uma determinada relaēão $\frac{l}{d_e}$ entre o comprimento da coluna e o seu diâmetro externo. A parte superior refere-se a cargas de curta duraēão ($\phi = 0$) e a parte inferior a cargas de longa duraēão ($\phi \neq 0$). Apresentamos 3 destes ābacos nas figs. 26, 27 e 28.

Os dados de entrada do programa s̄o os seguintes, devendo ser perfurados em campos sequenciais de 10 colunas:

a) Características da seēão de concreto e da armadura (1 cartāo):

$$1^o \text{ campo: } DVB = \frac{d_i}{d_e}$$

$$2^o \text{ campo: } DAB = \frac{d_a}{d_e}$$

3º campo: SIGMA = $- R_{ak}$ se for aço natural
 $+ R_{ak}$ se for aço encruado
 (em kgf/cm^2)

4º campo: ITA = -1 para o traçado dos âbacos da 1a. parte
 0 para indicar o fim dos dados
 $+1$ para o traçado dos âbacos da 2a. parte

b) Se ITA = -1 (1 cartão):

1º campo: PMAX = taxa mecânica máxima de armadura do âbaco referente à 1a. parte do programa.

Retornar ao item (a) para fornecer os dados relativos à próxima seção.

c) Se ITA = $+1$ (1 cartão):

1º campo: FI = coeficiente de deformação lenta a considerar nos cálculos relativos a cargas de longa duração

2º campo: NEN = número de pontos a considerar no traçado dos âbacos referentes à 2a. parte do programa.

48.

3º campo: NPMC = número de pontos a considerar nas curvas momento-curvatura

4º campo: NDEF = número de deformadas a considerar na determinação da capacidade de carga.

5º campo: P = taxa mecânica de armadura

Retornar ao item (c) para o traçado de gráficos referentes a outros valores da taxa mecânica de armadura. Para fornecer os dados relativos à próxima seção, fazer $P < 0$ e retornar ao item (a).

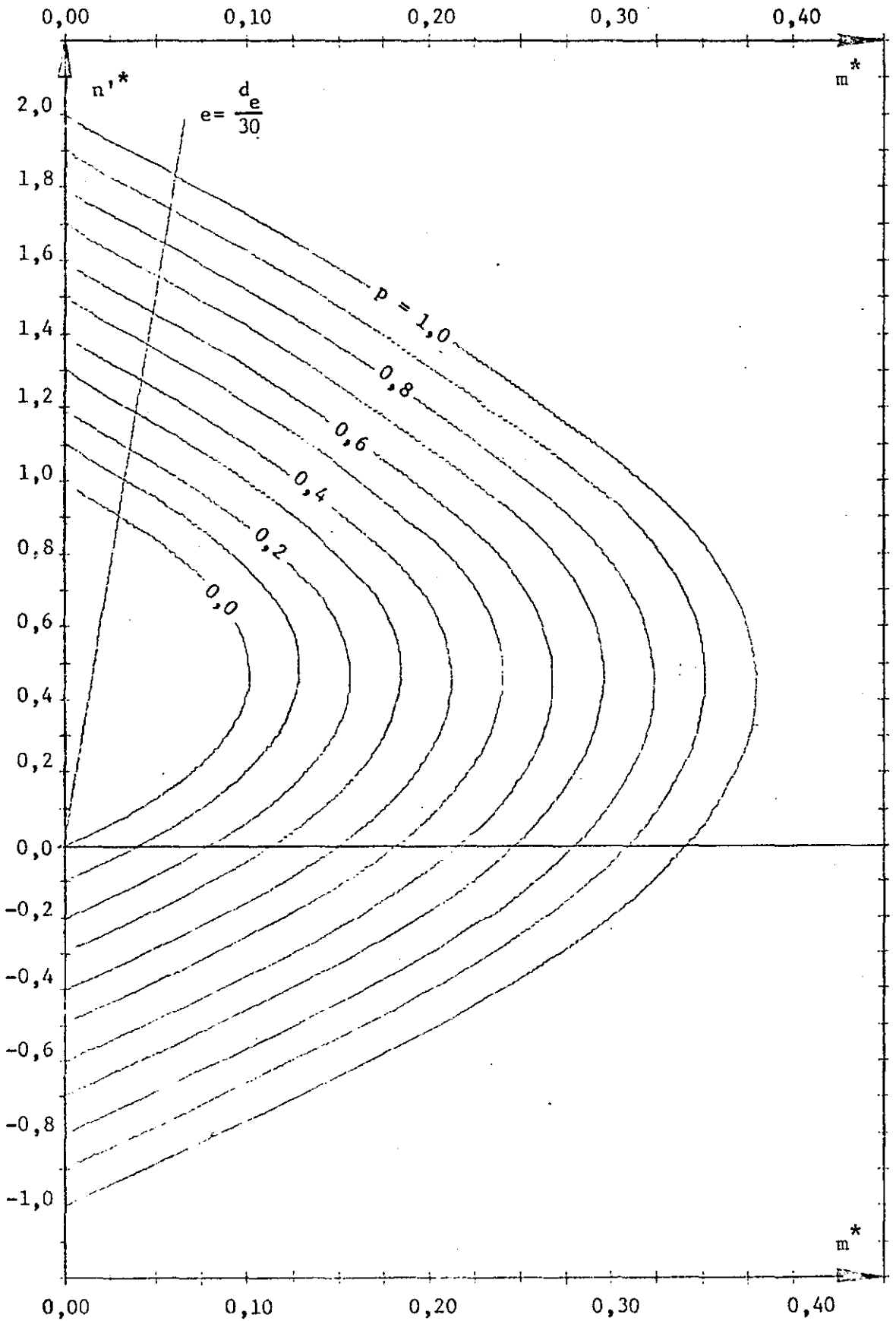


Fig.25: AÇO CA-24; $\frac{d_i}{d_e} = 0,0$; $\frac{d_a}{d_e} = 0,9$

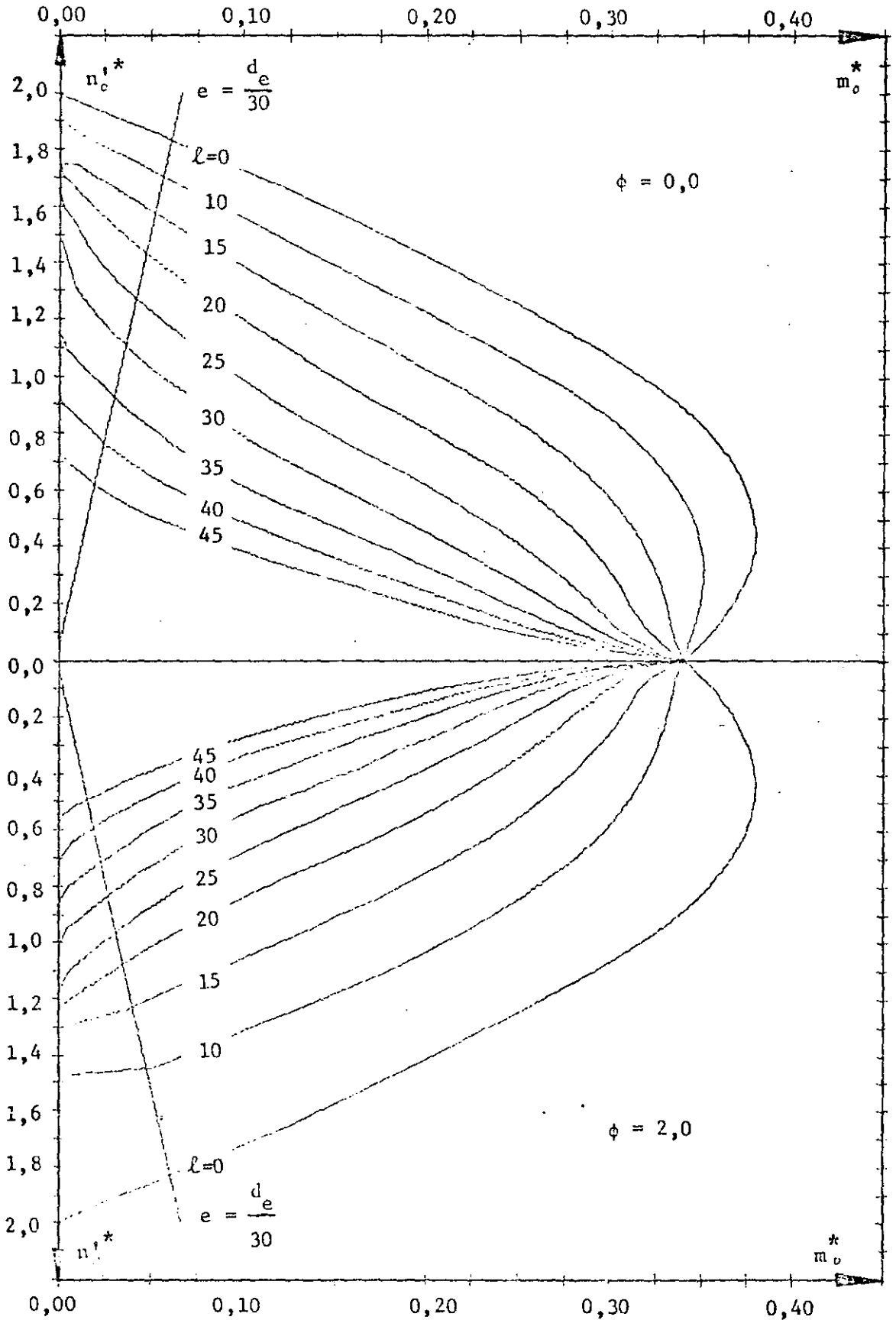


Fig.26: AÇO CA-24; $\frac{d_i}{d_e} = 0,0$; $\frac{d_a}{d_e} = 0,9$; $p = 1,0$; $\frac{e_1}{e_2} = 1,0$

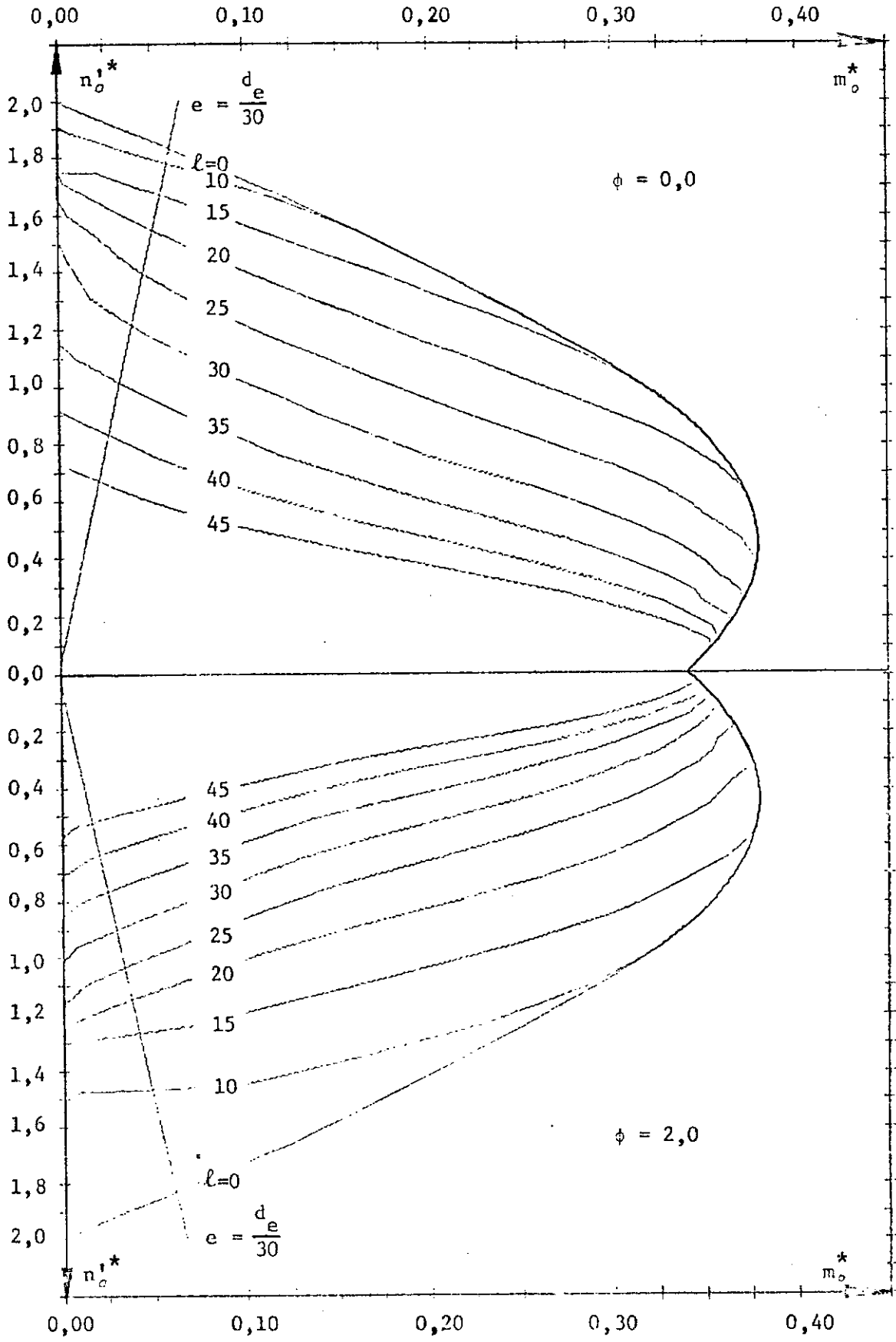


Fig.27: AÇO CA-24; $\frac{d_i}{d_e} = 0,0$; $\frac{d_a}{d_e} = 0,9$; $p = 1,0$; $\frac{c_1}{c_2} = 0,0$

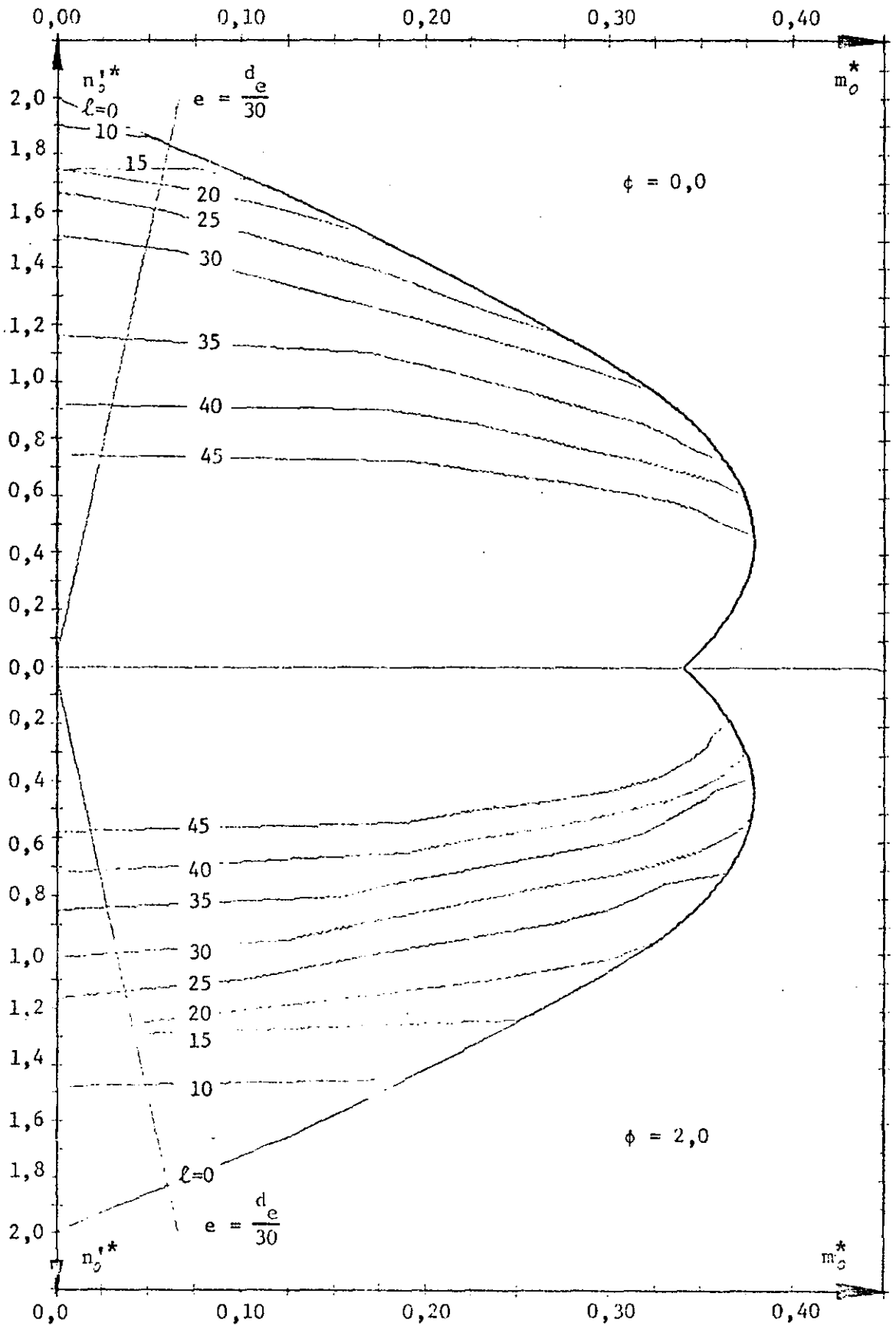


Fig.28: AÇO CA-24; $\frac{d_1}{d_e} = 0,0$; $\frac{d_a}{d_e} = 0,9$; $p = 1,0$; $\frac{e_1}{e_2} = -1,0$

BIBLIOGRAFIA

1. Recommandations Internationales pour le Calcul et l'Exécution des Ouvrages en Béton, Principes et Recommandations (rédaction juin 1970), Comité Européen du Béton - Fédération Internationale de la Précontrainte, Paris.
2. Recommandations Internationales pour le Calcul et l'Exécution des Ouvrages en Béton, Compléments (projet de février 1971), Comité Européen du Béton - Fédération Internationale de la Précontrainte, Paris.
3. Bulletin d'Information n° 76, Contribution à la Préparation du Manuel de Calcul CEB-FIP "Flexion-Compression", mars 1971, Comité Européen du Béton - Fédération Internationale de la Précontrainte, Paris.
4. Bulletin d'Information n° 77, Contribution à la Préparation du Manuel de Calcul CEB-FIP "Flambement", avril 1971, Comité Européen du Béton - Fédération Internationale de la Précontrainte, Paris.
5. Velloso, Dirceu A., - Flambagem na Flexão Composta, edição do autor, 1961.
6. Galambos, Theodore V., - Structural Members and Frames, Prentice-Hall, Inc., 1968.
7. Bleich, F., - Buckling Strength of Metal Structures, McGraw-Hill Book Co., 1952.
8. Burgermeister, Gustav, e Stenp, Herbert, e Kretzschmar, Horst, Stabilitätstheorie, Akademie-Verlag, 1966.

54.

9. Timoshenko, Stephen P., e Gere, James M., Theory of Elastic Stability, McGraw-Hill Book Co., 1961.
10. Gurfinkel, German e Robinson, Arthur, Determination of Strain Distribution and Curvature in a Reinforced Concrete Section Subjected to Bending Moment and Longitudinal Load, ACI Journal, july 1967.
11. Mac Gregor, James G., e Breen, John E., Design of Slender Concrete Columns, ACI Journal, january 1970.
12. Faessel, P., e Robinson, J.R., e Morrisset, A., Tables d'États Limites Ultimes des Poteaux en Béton Armé, Eyrolles, 1972.
13. Goyal, Brij B., e Jackson, Neil, Slender Concrete Columns Under Sustained Load, Journal of the Structural Division, ASCE, november 1971.
14. Ketter, Robert L., Further Studies of the Strenght of Beams Columns, Journal of the Structural Division, ASCE, august 1961.

A P E N D I C E

```

// FORTRAN
*ONE WORD INTEGERS
*EXTENDED PRECISION
*LIST SOURCE PROGRAM
C *****
C * SUBROUTINE ESFSC *
C *****
  SUBROUTINE ESFSC
    REAL D(10),CT1(9),CT2(9),NB,MB,NA,MA
    REAL S(10),C(10),A(10),H(9),G(9)
    COMMON PI,PI2,DT,DVB,DVBQ,DVBC,DAB,SIGMA,NDL,D,CT1,CT2,
1CONS8,CONSC,CONSD,P,DM,CV,IMN,NB,MB,NA,MA
    EQUIVALENCE (S1,S(1)),(S2,S(2)),(S3,S(3)),(S4,S(4)),
1(S5,S(5)),(S6,S(6)),(S7,S(7)),(S8,S(8)),(S9,S(9)),
2(S10,S(10))
    EQUIVALENCE (C1,C(1)),(C2,C(2)),(C3,C(3)),(C4,C(4)),
1(C5,C(5)),(C6,C(6)),(C7,C(7)),(C8,C(8)),(C9,C(9)),
2(C10,C(10))
    EQUIVALENCE (A1,A(1)),(A2,A(2)),(A3,A(3)),(A4,A(4)),
1(A5,A(5)),(A6,A(6)),(A7,A(7)),(A8,A(8)),(A9,A(9)),
2(A10,A(10))
    EQUIVALENCE (G1,G(1)),(G2,G(2)),(G3,G(3)),(G4,G(4)),
1(G5,G(5)),(G6,G(6)),(G7,G(7)),(G8,G(8)),(G9,G(9))
    EQUIVALENCE (H1,H(1)),(H2,H(2)),(H3,H(3)),(H4,H(4)),
1(H5,H(5)),(H6,H(6)),(H7,H(7)),(H8,H(8)),(H9,H(9))
    C2=D(2)
    D6=D(6)
    CB=ABS(CV*(1-DM)/2)
    CA=CB*DAB
    DV=DB*DVB
    IF(CV-1.E-10)1C,10,30
10 DO 20 I=1,NDL
    S(I)=SIGN(1.C,C(I)-DM)
    C(I)=0.0
20 A(I)=SIGN(PI2,S(I))
    GO TO 11C
30 DO 40 I=1,2
40 S(I)=(C(I)-DM)/DB
    DO 50 I=3,4
50 S(I)=(C(I)-DM)/DV
    DC 60 I=5,NDL
60 S(I)=(D(I)-DM)/DA
    CC 100 I=1,NDL
    IF(ABS(S(I))-1)80,90,90
80 C(I)=SQRT(1-S(I)**2)
    A(I)=ATAN(S(I)/C(I))
    GO TC 100
90 S(I)=SIGN(1.0,S(I))
    C(I)=C.0
    A(I)=SIGN(PI2,S(I))

```

```

100 CONTINUE
110 B1=DM*(2-DM/D2)/D2
    B2=2*DB*(1-DM/D2)/D2
    B3=-(DB/D2)**2
    A21=A2-A1
    SC2=S2*C2
    SC1=S1*C1
    S2Q=S2*S2
    C2Q=C2*C2
    C2C=C2Q*C2
    S1Q=S1*S1
    C1Q=C1*C1
    C1C=C1Q*C1
    IF(IMN)130,120,120
120 NB=B1*(A21+SC2-SC1)-B2*(C2C-C1C)*DT+B3*(A21-SC2*(C2Q-S2Q)+
1  SC1*(C1Q-S1Q))*0.25+PI2-A2-SC2
    IF(IMN)130,130,140
130 MB=-B1*(C2C-C1C)/3+B2*(A21-SC2*(C2Q-S2Q)+SC1*(C1Q-S1Q))*
1  C.125-B3*(C2C*(S2Q+DT)-C1C*(S1Q+DT))*0.2+C2C/3
140 IF(DVB-1.E-7)180,150,150
150 B2=B2*DVB
    B3=B3*DVBQ
    A43=A4-A3
    SC4=S4*C4
    SC3=S3*C3
    S4Q=S4*S4
    C4Q=C4*C4
    C4C=C4Q*C4
    S3Q=S3*S3
    C3Q=C3*C3
    C3C=C3Q*C3
    IF(IMN)170,160,160
160 NB=NB-(B1*(A43+SC4-SC3)-B2*(C4C-C3C)*DT+B3*(A43-SC4*(C4Q-
1  S4Q)+SC3*(C3Q-S3Q))*C.25+PI2-A4-SC4)*DVBQ
    IF(IMN)170,170,180
170 MB=MB-(-B1*(C4C-C3C)/3+B2*(A43-SC4*(C4Q-S4Q)+SC3*(C3Q-S3Q))
1  *0.125-B3*(C4C*(S4Q+DT)-C3C*(S3Q+DT))*C.2+C4C/3)*DVBQ
180 NB=NB/CONSB
    MB=MB/CCNSB
    IF(P-1.E-7)190,190,200
190 NA=C.0
    MA=C.0
    GO TO 280
200 IF(SIGMA)210,190,240
210 A65=A6-A5
    C65=C6-C5
    SC5=S5*C5
    SC6=S6*C6
    IF(IMN)230,220,220
220 NA=CONSC*(-A6-A5+(DM*A65-DA*C65)/D6)

```



```

      IF(IMN)230,230,280
230  MA=CCNSC*(C6+C5+(-DM*C65+DA*(A65-SC6+SC5)/2)/D6)
      GO TO 280
240  A65=A6-A5
      A76=A7-A6
      A87=A8-A7
      A98=A9-A8
      A109=A10-A9
      C65=C6-C5
      C76=C7-C6
      C87=C8-C7
      C98=C9-C8
      C109=C10-C9
      SC5=S5*C5
      SC6=S6*C6
      SC7=S7*C7
      SC8=S8*C8
      SC9=S9*C9
      SC10=S10*C10
      DO 250 I=5,9
      G(I)=CT1(I)*DM+CT2(I)
250  F(I)=CT1(I)*DA
      IF(IMN)270,260,260
260  NA=CCNSC*(-A10-A5+G5*A65+G6*A76+G7*A87+G8*A98+G9*A109-H5*
      1C65-H6*C76-H7*C87-H8*C98-H9*C109)
      IF(IMN)270,270,280
270  MA=CCNSD*(C10+C5-G5*C65-G6*C76-G7*C87-G8*C98-G9*C109+(H5*
      1(A65-SC6+SC5)+H6*(A76-SC7+SC6)+H7*(A87-SC8+SC7)+H8*(A98-
      2SC9+SC8)+H9*(A109-SC10+SC9))/2)
280  RETURN
      END
// DUP
*DELETE          ESFSC
*STORE           WS  UA  ESFSC          IE36

// EJECT
// FORTRAN
*ONE WORD INTEGERS
*EXTENDED PRECISION
*LIST SOURCE PROGRAM
C *****
C * SUBROUTINE GRAF1 *
C *****
      SUBROUTINE GRAF1
      REAL D(10),CT1(9),CT2(9),NB,MB,NA,MA
      REAL LAB(9),NMAX,NMIN,MMAXI,ENB(141),MFB(141),ENA(141),
      1MFA(141),NAB(1C1),MAB(1C1,9,3),NCRIT(9,2),MZERC,X(141),
      2Y(141),PMA(11)
      INTEGER IGR(4)
      COMMON PI,PI2,DT,DVB,DVBQ,DVBC,DAB,SIGMA,NDL,D,CT1,CT2,

```

```

1CONSB,CONSC,CONSD,P,DM,CV,IMN,NB,MB,NA,MA
COMMON NG,TETA,HL,VL,IGR,LAB,NEN,NDEF,ITA,PMAX,NMAX,NMIN,
1MZERG,MMAXI,NCRIT,ENB,MFB,ENA,MFA,NAB,MAB,NPMC,PREC
INMAX=NEN*2-1
IM1=NEN-1
IM2=NEN+1
DO 30 I=1,4
CX=IGR(I)*0.1
J=C
10 J=J+1
IF(NMAX-CX*(J+0.1))20,20,1J
20 IF(J-1C)40,40,30
30 CONTINUE
40 NDXP=J+1
J=0
IF(ITA)50,70,7C
50 J=J+1
IF(-NMIN-DX*(J+C.1))6C,6C,5C
60 NDXN=J+1
IEF=1
GO TO 80
70 NDXN=NCXP
IEF=3
8C DO 110 I=1,4
CY=IGR(I)*C.01
J=0
9C J=J+1
IF(MMAXI-DY*(J+C.1))10C,10C,9C
10C IF(J-10)120,120,110
11C CONTINUE
120 NDY=J+1
NDX=NCXP+NDXN-1
NDXG=2*(NDXP+NDXN)
CXG=CX/2
NDYG=2*NDY
CYG=DY/2
EX=(21.0/2.54)/(NCXG*CXG)
EY=(14.C/2.54)/(NDYG*CYG)
XES=NDXP*DX
XEI=-NDXN*CX
YEE=-NDY*DY
XPI=XEI-(3.0/2.54)/EX
YPI=(5.0/2.54)/EY
XPS=XPI+(28.C/2.54)/EX
YPC=YPI-(21.5/2.54)/EY
DO 680 IE=1,IEF
CALL SCALE(EX,EY,XPI,YPI)
CALL EPLCT(2,XPI,YPD)
CALL EPLCT(0,XPS,YPD)
CALL EPLCT(0,XPS,YPI)

```

```

CALL EPLCT(-1,XPI,YPI)
CALL EGRID(0,XEI,YEE,DXG,NDXG)
CALL EGRID(1,XES,YEE,DYG,NDYG)
CALL EGRID(2,XES,C.C,CXG,NCXG)
CALL EGRID(3,XEI,0.0,DYG,NDYG)
XI=XEI-2*VL/EX
DESL=2*HL/EY
DO 140 I=1,NDY
Z=-YEE-DY*I+1.E-8
YI=-Z+DESL
CALL ECHAR(XI,YI,HL,VL,TETA)
140 WRITE(7,150)Z
150 FORMAT(F4.2)
YI=6*HL/EY
DESL=0.5*VL/EX
DO 170 I=1,NDX
Z=XEI+DX*I
XI=Z-DESL
CALL ECHAR(XI,YI,HL,VL,TETA)
Z=Z+SIGN(1.E-8,Z)
IF(ITA)170,160,160
160 Z=ABS(Z)
170 WRITE(7,180)Z
180 FORMAT(F4.1)
XI=XES+VL/EX
DESL=2*HL/EY
DO 190 I=1,NDY
Z=DY*(I-1)+1.E-8
YI=-Z+DESL
CALL ECHAR(XI,YI,HL,VL,TETA)
190 WRITE(7,150)Z
CALL EPLCT(-2,C.C,YEE)
CALL EPLCT(0,C.C,C.C)
XI=XES-DX
YI=XI/30
CALL EPLCT(-1,XI,-YI)
IF(ITA)200,330,330
200 DO 320 IP=1,11
PM=PMAX*(11-IP)/10+1.E-8
PMA(IP)=PM
DO 210 IN=1,141
I=142-IN
X(IN)=ENB(I)+ENA(I)*PM
210 Y(IN)=MFB(I)+MFA(I)*PM
IF((-1)**IP)240,220,220
220 CALL EPLCT(-2,X(141),-Y(141))
DO 230 IN=2,140
I=142-IN
230 CALL EPLCT(0,X(I),-Y(I))
CALL EPLCT(-1,X(1),-Y(1))

```

```

GO TO 320
24C CALL EPLCT(-2,X(1),-Y(1))
DO 290 I=1,140
290 CALL EPLCT(0,X(I),-Y(I))
CALL EPLCT(-1,X(141),-Y(141))
320 CONTINUE
XI=XPI-4*VL/EX
CALL ECHAR(XI,YPI,HL,VL,TETA)
WRITE(7,325)(PMA(IP),IP=1,11)
325 FORMAT('CURVAS PARA P=',11F5.2)
GO TO 65C
330 DO 640 IL=1,9
DO 360 I=1,IM1
IF(NAB(I)-NCRIT(IL,1))340,350,350
340 X(I)=NAB(I)
Y(I)=MAB(I,IL,IE)
GO TO 360
350 X(I)=NCRIT(IL,1)
Y(I)=C.C
360 CONTINUE
X(NEN)=0.0
Y(NEN)=MZERO
I=INMAX+1
DO 390 IN=IM2,INMAX
I=I-1
IF(-NAB(I)-NCRIT(IL,2))370,380,380
370 X(I)=NAB(I)
Y(I)=MAB(I,IL,IE)
GO TO 390
380 X(I)=-NCRIT(IL,2)
Y(I)=C.C
390 CONTINUE
IF((-1)**IL)480,400,400
400 IF(-X(INMAX)-0.2*NAB(1))410,420,420
410 CALL EPLCT(-2,X(NEN),-Y(NEN))
GO TO 440
420 CALL EPLCT(-2,X(INMAX),-Y(INMAX))
I=INMAX+1
DO 430 IN=IM2,INMAX
I=I-1
430 CALL EPLCT(0,X(I),-Y(I))
440 IF(X(1)-0.2*NAB(1))450,460,460
450 CALL EPLCT(-1,X(NEN),-Y(NEN))
GO TO 640
460 CALL EPLCT(0,X(NEN),-Y(NEN))
I=NEN
DO 470 IN=2,IM1
I=I-1
470 CALL EPLCT(0,X(I),-Y(I))
CALL EPLCT(-1,X(1),-Y(1))

```

```

GC TC 640
480 IF(X(1)-0.2*NAB(1))640,490,49C
49C CALL EPLCT(-2,X(1),-Y(1))
DO 540 I=2,IM1
540 CALL EPLCT(0,X(I),-Y(I))
IF(-X(INMAX)-0.2*NAB(1))570,580,58C
570 CALL EPLCT(-1,X(INEN),-Y(NEN))
GO TO 640
580 CALL EPLCT(0,X(NEN),-Y(NEN))
DO 620 I=IM2,INMAX
620 CALL EPLCT(0,X(I),-Y(I))
CALL EPLCT(-1,X(INMAX),-Y(INMAX))
640 CONTINUE
CALL EPLCT(-2,0.0,0.0)
XI=XEI+DX
YI=XI/30
CALL EPLCT(-1,XI, YI)
XI=XPI-4*VL/EX
CALL ECHAR(XI,YPI,HL,VL,TETA)
WRITE(7,645)(LAB(IL),IL=1,9)
645 FORMAT('CURVAS PARA L=',9F5.1)
650 XI=XPI+(32.0/2.54)/EX
YI=YPI
680 CALL EPLCT(1,XI,YI)
RETURN
END

```

```

// DUP
*DELETE          WS      UA      GRAF1
*STORE           WS      UA      GRAF1          1E36

```

```

// EJECT
// FORTRAN
*ONE WORD INTEGERS
*EXTENDED PRECISION
*LIST SOURCE PROGRAM
*ICCS(2501READER,1403PRINTER,TYPEWRITER,PLOTTER)
C *****
C * PROGRAMA TESE1 *
C *****
REAL D(10),CT1(9),CT2(9),NB,MB,NA,MA
REAL EBP(2),LAB(9),T(10),EBS(141),EBI(141),ENB(141),
1MF8(141),ENA(141),MFA(141),NMAX,NMIN,MZERG,MMAX,MMAXI
REAL N,L,NAN,NPO,NCRIT(9,2),NCCMP,NMC,NI,MI,NP,MP,N1,M1,N2,
1M2,C(51),Y(51),C1(51),C2(51),C21(51),RC1(51)
REAL XE(51),YE(51),YLE(51),C3(51),C4(51),LAUX,MINS(9,3),
1NAB(101),MAB(101,9,3),XMAX(51),YMAX(51)
INTEGER IGR(4)
COMMON PI,PI2,DT,DVB,DVBQ,DVBC,DAB,SIGMA,NDL,D,CT1,CT2,
1CONSB,CONSC,CONSD,P,DM,CV,IMN,NB,MB,NA,MA
COMMON NG,TETA,HL,VL,IGR,LAB,NEN,NDEF,ITA,PMAX,NMAX,NMIN,

```

IMZERO, MMAXI, NCRIT, ENB, MFB, ENA, MFA, NAB, MAB, NPMC, PREC

C1 LEITURA DOS DADOS E DEFINICAO DE CONSTANTES

```

PREC=0.00001
NG=0
PI=3.141592654
PI2=PI/2
TETA=-PI2
CT=2.0/3.0
FL=0.2/2.54
VL=0.25/2.54
IGR(1)=1
IGR(2)=2
IGR(3)=5
IGR(4)=10
IFF=2
EBP(1)=0.002
EA=210000.0
C(1)=0.0
D(3)=0.0
GA=1.15
LAB(1)=0.0
LAB(2)=10.0
LAB(3)=15.0
LAB(4)=20.0
LAB(5)=25.0
LAB(6)=30.0
LAB(7)=35.0
LAB(8)=40.0
LAB(9)=45.0
10 READ(8,20)DVB,CAB,SIGMA,ITA
20 FORMAT(3F10.0,I10)
   IF(ITA)40,30,40
30 CALL EXIT
40 CALL DATSW(15,ICH)
   WRITE(5,45)DVB,CAB,SIGMA,ITA
45 FORMAT(//8X,'DVB',7X,'CAB',5X,'SIGMA',7X,'ITA'/1X,3F10.2,
1I10)
   DVBQ=DVB*DVB
   DVBC=DVBQ*DVB
   CONSB=PI*(1-DVBQ)
   RCALC=ABS(SIGMA/GA)
   IF(SIGMA)50,50,60
50 C(5)=-RCALC/EA
   C(6)=-C(5)
   NDL=6
   GO TO 80
60 T(5)=-RCALC
   T(6)=-0.5*RCALC

```

```

T(7)=-0.7*RCALC
T(8)=-T(7)
T(9)=-T(6)
T(10)=RCALC
D(5)=T(5)/EA-0.002
D(6)=T(6)/EA-0.00026
D(7)=T(7)/EA
D(8)=-D(7)
D(9)=-D(6)
D(10)=-D(5)
NDL=10
DO 70 I=5,9
CT1(I)=(T(I+1)-T(I))/((D(I+1)-D(I))*RCALC)
70 CT2(I)=T(I)/RCALC-CT1(I)*D(I)

```

C2 CAPACIDADE DE CARGA DA SECAC

```

80 IMN=0
D(2)=EBP(1)
C(4)=EBP(1)
EBS(1)=-0.010
EBI(1)=-0.010
DO 90 I=2,21
EBS(I)=EBS(I-1)+0.0005
90 EBI(I)=EBS(I)-2*(0.010+EBS(I))/(1+DAB)
DO 100 I=22,41
EBS(I)=EBS(I-1)+0.000175
100 EBI(I)=EBS(I)-2*(0.010+EBS(I))/(1+DAB)
DEBI=-EBI(41)/80
DO 110 I=42,121
EBS(I)=0.0035
110 EBI(I)=EBI(I-1)+DEBI
DO 120 I=122,141
EBI(I)=EBI(I-1)+0.0001
120 EBS(I)=0.0035-0.75*EBI(I)
P=1.C
CONSC=P/PI
CONSD=CONSC*DAB/2
DO 130 I=1,141
DM=(EBS(I)+EBI(I))/2
CV=(EBS(I)-EBI(I))/(1-DM)
CALL ESFSC
ENB(I)=NB
MFB(I)=MB
ENA(I)=NA
130 MFA(I)=MA
IF(ITA)140,30,150
140 READ(8,145)PMAX
145 FORMAT(F10.0)
WRITE(5,146)PMAX

```

```

146 FORMAT(7X,'PMAX'/1X,F10.2)
    P=PMAX
    GO TO 160
150 READ(8,155)FI,NEN,NPMC,NDEF,P
155 FORMAT(F10.C,3I10,F10.C)
    IF(P)10,156,156
156 WRITE(5,157)FI,NEN,NPMC,NDEF,P
157 FORMAT(9X,'FI',7X,'NEN',6X,'NPMC',6X,'NDEF',9X,'P'/F10.2,
    13I10,F10.2)
    EBP(2)=EBP(1)*(1+FI)
    NTEN=NEN-1
    NENAB=2*NEN-1
    NTMC=NPMC-1
    NDMC=NTMC-1
    NTDEF=NDEF-1
160 IF(ICH-1)161,161,165
161 WRITE(5,162)
162 FORMAT(/1X,'CAPACIDADE DE CARGA DA SECAO (P=1.0)'/9X,'ES',
    18X,'EI',8X,'EA',8X,'NB',8X,'NA',8X,'MB',8X,'MA',8X,'NT',8X,
    2'MT')
    DO 163 I=1,141
    ENT=ENB(I)+ENA(I)
    EFT=EFB(I)+EFA(I)
    CA=EBS(I)-(1+DAB)*(EBS(I)-EBI(I))/2
163 WRITE(5,164)EBS(I),EBI(I),CA,ENB(I),ENA(I),MFB(I),MFA(I),
    1ENT,EFT
164 FORMAT(1X,9F10.5)

```

C3 MOMENTO PARA ESFORCC NORMAL NULO E MOMENTO MAXIMO

```

165 DO 170 I=20,141
    V=ENB(I)+ENA(I)*P
    IF(V)170,170,175
170 CONTINUE
175 H=MFB(I)+MFA(I)*P
    MZERO=H-(H-MFB(I-1)-MFA(I-1)*P)*V/(V-ENB(I-1)-ENA(I-1)*P)
    NAB(NEN)=0.0
    DO 176 IL=1,9
    DO 176 IE=1,3
176 NAB(NEN,IL,IE)=MZERO
    DO 180 I=2,141
    MMAXI=MFB(I-1)+MFA(I-1)*P
    IF(MFB(I)+MFA(I)*P+1.E-8-MMAXI)185,180,180
180 CONTINUE
185 NMAX=ENB(141)+ENA(141)*P
    NMIN=ENA(1)*P
    IF(ICH-1)186,186,188
186 WRITE(5,187)NMAX,NMIN,MZERO,MMAXI
187 FORMAT(/1X,4F10.5/)

```



```

188 IF(ITA)190,30 ,195
190 CALL GRAF1
    GO TO 1C
195 CONSC=P/PI
    CONSD=CONSC*DAB/2
    IF(ICH-1)196,196,198
196 WRITE(5,197)P,(LAB(IL),IL=1,9)
197 FORMAT(/1X,'ABACOS PARA P=',F5.2/10X,'L',9F10.2)

```

C4 CARGA CENTRADA CRITICA

```

198 IMN=0
    CV=C.COC001
    AUX=PI**2/CV
    TCL=0.C01*NMAX
    DO 310 IF=1,2
    C(2)=EBP(IF)
    C(4)=EBP(IF)
    IF(EBP(IF)+D(5))200,200,210
200 DMI=-C(5)
    GO TO 220
210 DMI=EBP(IF)
220 DM=DMI
    NCRIT(1,IF)=NMAX
    DO 300 IL=2,9
    DM=DM+0.CCC1
230 DM=DM-0.C001
    CALL ESFSC
    L=SQRT(AUX*(MB+MA)/(NB+NA))
    IF(L-LAB(IL))230,240,240
240 DMAN=DM+0.0001
    DMPC=DM
    CALL ESFSC
    NPC=NB+NA
    CM=DMAN
    CALL ESFSC
    NAN=NB+NA
250 CM=(DMAN+DMPC)/2
    CALL ESFSC
    N=NB+NA
    L=SQRT(AUX*(MB+MA)/N)
    IF(NAN-NPC-TOL)280,280,260
260 IF(L-LAB(IL))270,270,275
270 DMAN=DM
    NAN=N
    GO TO 250
275 DMPC=DM
    NPC=N
    GO TO 250
280 NCRIT(IL,IF)=(NAN+NPO)/2

```

```

      IF(NCRIT(IL,IF)-NMAX)300,300,290
290  NCRIT(IL,IF)=NMAX
300  CONTINUE
      IF(ICH-1)301,301,310
301  WRITE(5,302)IF,(NCRIT(IL,IF),IL=1,9)
302  FORMAT(3X,'NCRIT(',I1,')',9F10.7)
      WRITE(5,360)
360  FORMAT(/)
310  CONTINUE
      NAB(1)=NMAX
      NAB(NENAB)=-NMAX
      DO 340 IL=1,9
      DO 340 IE=1,3
      MAB(1,IL,IE)=0.0
340  MAB(NENAB,IL,IE)=0.0

```

C5 CURVAS MOMENTO-CURVATURA

```

      DN=NMAX/NTEN
      IMC=140
      DO 720 IN=2,NTEN
      INN=NENAB+1-IN
      NCOMP=DN*(NEN-IN)
      IMC=IMC+1
370  IMC=IMC-1
      NMC=ENB(IMC)+ENA(IMC)*P
      IF(NCOMP-NMC)370,380,380
380  MMAX=MFB(IMC)+MFA(IMC)*P
      DO 385 IE=1,3
385  MINS(1,IE)=MMAX
      TOLN=NMC*PREC
      TOLM=MMAX*PREC
      DO 710 IF=1,IFF
      D(2)=EBP(IF)
      D(4)=EBP(IF)
      DO 390 IL=2,9
      DO 390 IE=1,3
390  MINS(IL,IE)=0.0
      GO TO (400,410),IF
400  DMAX=(EBS(IMC)+EBI(IMC))/2
      CMAX=(EBS(IMC)-EBI(IMC))/(1-DMAX)
      NIT=0
      GO TO 500
410  IMN=0
      NITA=0
      NIT=0
      DMI=DMAX
      CVI=CMAX
      CM=DMI
      CV=CVI

```

```

      CALL ESFSC
      NI=NB+NA
      MI=MB+MA
42C NP=NMC
      MP=MMAX
430 CM1=DMI
      CV1=CVI
      N1=NI
      M1=MI
44C DM2=DM1*1.001+1.E-6
      CV2=CV1*1.001+1.E-6
      IF(NIT-NITA-10)46C,46C,450
45C NP=(NI+NP)/2
      MP=(MI+MP)/2
      NITA=NIT
      GO TO 43C
46C DM=DM2
      CV=CV1
      CALL ESFSC
      N2=NB+NA
      M2=MB+MA
      DNC=(N1-N2)/(DM1-DM2)
      DMD=(M1-M2)/(DM1-DM2)
      DM=DM1
      CV=CV2
      CALL ESFSC
      N2=NB+NA
      M2=MB+MA
      DNC=(N1-N2)/(CV1-CV2)
      DMC=(M1-M2)/(CV1-CV2)
      DM1=((NP-N1)*DMC-(MP-M1)*DNC)/{DND*DMC-DNC*DMC}+DM1
      CV1=((NP-N1)*DMD-(MP-M1)*DND)/{DNC*DMD-DND*DMC}+CV1
      DM=DM1
      CV=CV1
      CALL ESFSC
      NIT=NIT+1
      N1=NB+NA
      M1=MB+MA
      IF(ABS(N1-NP)-TCLN)470,47C,44C
47C IF(ABS(M1-MP)-TCLM)48C,48C,44C
48C DMI=CM1
      CVI=CV1
      NI=N1
      MI=M1
      IF(ABS(NP-NMC)-TCLN)490,49C,42C
49C CMAX=CV1
      DMAX=DM1
50C C(1)=CMAX
      Y(1)=MMAX/NMC
      DMI=DMAX

```

```

      DC=CMAX/NDMC
      DO 501 I=2,NDMC
501  C(I)=(NTMC-I)*DC
      IF(C(NDMC)-0.000001)502,502,503
502  C(NTMC)=C(NDMC)/2
      GO TO 504
503  C(NTMC)=0.000001
504  IF(ICH-1)505,505,507
505  WRITE(5,506) P,NMC,MMAX,IF,Y(1),C(1),DMAX,NIT
506  FORMAT(/11X, 'CURVA MOMENTO-CURVATURA PARA P=',F5.3/38X,
      1*NMC=',F10.5/37X,'NMAX=',F10.5/39X,'IF=',I2/25X,'Y',14X,'C'
      2,13X,'DM',7X,'NIT'/11X,3F15.6,I10)
507  DO 580 I=2,NTMC
      TOLC=C(I)*PREC
      CVA=C(I-1)
      IMN=1
      NIT=0
      NITA=C
      CV=C(I)
      DM=DMI
      CALL ESFSC
      NI=NB+NA
510  CV=C(I)
520  DM1=DM1
      N1=NI
530  DM2=DM1*0.999-1.E-6
      IF(NIT-NITA-10)550,550,540
540  CV=(CV+CVA)/2
      NITA=NIT
      GO TO 520
550  DM=DM2
      CALL ESFSC
      N2=NB+NA
      DM1=DM1+(NMC-N1)*(DM1-DM2)/(N1-N2)
      DM=DM1
      CALL ESFSC
      NIT=NIT+1
      N1=NB+NA
      IF(ABS(N1-NMC)-TOLN)560,560,530
560  DMI=DM1
      NI=N1
      CVA=CV
      IF(ABS(CV-C(I))-TOLC)570,570,510
570  IMN=-1
      CALL ESFSC
      Y(I)=(MB+MA)/NMC
      IF(ICH-1)571,571,580
571  WRITE(5,572) Y(I),C(I),DM,NIT
572  FORMAT(11X,3F15.6,I10)
580  CCNTINUE

```

```

C(NPMC)=0.0
Y(NPMC)=0.0
DO 600 I=2,NTMC
CCEF=C(I-1)/Y(I-1)
IF(CCEF-C(I)/Y(I))590,600,600
590 Y(I)=C(I)/CCEF
600 CONTINUE
DO 610 I=1,NTMC
C1(I)=(C(I)-C(I+1))/(Y(I)-Y(I+1))
C2(I)=C(I)-C1(I)*Y(I)
C21(I)=C2(I)/C1(I)
610 RC1(I)=SQRT(C1(I))
IF(ICH-1)611,611,615
611 WRITE(5,612)
612 FORMAT(11X,'CONSTANTES')
WRITE(5,613) (C1(I),C2(I),C21(I),RC1(I),I=1,NTMC)
613 FORMAT(11X,4F15.8)
WRITE(5,614)
614 FORMAT(11X,'DEFORMADAS')
615 DY=(Y(1)-Y(NTMC))/NDEF

```

C6 DEFORMADAS (CARGAS AXIAIS CENTRADAS)

```

TCLY=Y(1)/1000
DO 695 ND=1,NDEF
YIN=Y(1)-DY*(ND-1)-1.E-7
YMAX(ND)=YIN
DO 620 I=1,NPMC
IF(YIN-Y(I))620,630,630
620 CONTINUE
630 INIC=I-1
YE(INIC)=YIN
XE(INIC)=0.0
YLE(INIC)=0.0
DO 640 I=INIC,NTMC
A1=YE(I)+C21(I)
A2=YLE(I)/RC1(I)
ARC=RC1(I)*XE(I)
A3=SIN(ARC)
A4=COS(ARC)
C3(I)=A1*A4-A2*A3
C4(I)=A1*A3+A2*A4
YE(I+1)=Y(I+1)
XE(I+1)=2*ATAN((C4(I)+SQRT(C4(I)**2+C3(I)**2)-(YE(I+1)+
1C21(I))**2))/(YE(I+1)+C21(I)+C3(I))/RC1(I)
ARC=RC1(I)*XE(I+1)
YLE(I+1)=RC1(I)*(-C3(I)*SIN(ARC)+C4(I)*COS(ARC))
IF(ICH-1)635,635,640
635 WRITE(5,636) ND,I,C3(I),C4(I),YE(I),YLE(I),XE(I),YE(I+1),
1YLE(I+1),XE(I+1)

```

```

636 FORMAT(11X,2I5,2F15.8,6F10.6)
640 CONTINUE
    XMAX(ND)=XE(NPMC)

```

C7 CARGAS DE INSTABILIDADE PARA K=1

```

    DO 690 IL=2,9
    LAUX=LAB(IL)/2
    DO 650 I=INIC,NPMC
    IF(LAUX-XE(I))660,660,650
650 CONTINUE
    AUX=0.0
    GO TO 670
660 I=I-1
    ARC=RC1(I)*LAUX
    AUX=NMC*(C3(I)*COS(ARC)+C4(I)*SIN(ARC)-C21(I))
670 IF(AUX-MINS(IL,1))690,690,680
680 MINS(IL,1)=AUX
690 CONTINUE

```

C9 CARGAS DE INSTABILIDADE PARA K=0

```

    DO 1070 IL=2,9
    LAUX=LAB(IL)-XE(NPMC)
    IF(ND-1)1000,1000,1020
1000 IF(LAUX)1010,1010,1020
1010 MINS(IL,2)=MMAX
    GO TO 1070
1020 LAUX=ABS(LAUX)
    DO 1030 I=INIC,NPMC
    IF(LAUX-XE(I))1040,1040,1030
1030 CONTINUE
    AUX=0.0
    GO TO 1050
1040 I=I-1
    ARC=RC1(I)*LAUX
    AUX=NMC*(C3(I)*COS(ARC)+C4(I)*SIN(ARC)-C21(I))
1050 IF(AUX-MINS(IL,2))1070,1070,1060
1060 MINS(IL,2)=AUX
1070 CONTINUE
    DO 1080 IL=3,9,2
    ILL=(IL+1)/2
1080 MINS(IL,3)=MINS(ILL,2)
    DO 1160 IL=2,8,2
    LAUX=LAB(IL)/2-XE(NPMC)
    IF(ND-1)1090,1090,1110
1090 IF(LAUX)1100,1100,1110
1100 MINS(IL,3)=MMAX
    GO TO 1160
1110 LAUX=ABS(LAUX)

```

```

      DO 1120 I=INIC,NPMC
      IF(LAUX-XE(I))1130,1130,1120
1120  CONTINUE
      AUX=C.C
      GC TO 1140
1130  I=I-1
      ARC=RC1(I)*LAUX
      AUX=NMC*(C3(I)*CCS(ARC)+C4(I)*SIN(ARC)-C21(I))
1140  IF(AUX-MINS(IL,3))1160,1160,1150
1150  MINS(IL,3)=AUX
1160  CONTINUE
      695  CONTINUE

C10  CARGAS DE INSTABILIDADE PARA K=-1

      DO 1260 IL=2,9
      LAUX=LAB(IL)/2
      DO 1170 NC=1,NDEF
      IF(XMAX(NC)-LAUX)1170,1180,1180
1170  CONTINUE
      MINS(IL,3)=0.0
      GC TO 1260
1180  IF(NC-1)1185,1185,1190
1185  MINS(IL,3)=MMAX
      GC TO 1260
1190  YANT=YMAX(NC-1)
      YPOS=YMAX(NC)
1200  IF(YANT-YPOS-TCLY)1240,1240,1210
1210  YIN=(YANT+YPOS)/2
      DO 1211 I=1,NPMC
      IF(YIN-Y(I))1211,1212,1212
1211  CONTINUE
1212  INIC=I-1
      YE(INIC)=YIN
      XE(INIC)=0.0
      YLE(INIC)=C.C
      DO 1213 I=INIC,NTMC
      A1=YE(I)+C21(I)
      A2=YLE(I)/RC1(I)
      ARC=RC1(I)*XE(I)
      A3=SIN(ARC)
      A4=COS(ARC)
      C3(I)=A1*A4-A2*A3
      C4(I)=A1*A3+A2*A4
      YE(I+1)=Y(I+1)
      XE(I+1)=2*ATAN((C4(I)+SQRT(C4(I)**2+C3(I)**2-(YE(I+1)+
1C21(I))**2)))/(YE(I+1)+C21(I)+C3(I))/RC1(I)
      ARC=RC1(I)*XE(I+1)
      YLE(I+1)=RC1(I)*(-C3(I)*SIN(ARC)+C4(I)*COS(ARC))
1213  CONTINUE

```

```
XMAXI=XE(NPMC)
IF(XMAXI-LAUX)1220,122C,123C
1220 YANT=YIN
GC TC 1200
1230 YPOS=YIN
GC TC 1200
1240 AUX=NMC*(YANT+YPCS)/2
IF(AUX-MINS(IL,3))125C,126C,1260
1250 MINS(IL,3)=AUX
1260 CONTINUE
GO TO (700,7C5),IF
700 CC 701 IL=1,9
DO 701 IE=1,3
701 MAB(IN,IL,IE)=MINS(IL,IE)
NAB(IN)=NMC
GO TC 7C7
705 CC 706 IL=1,9
CC 706 IE=1,3
706 MAB(INN,IL,IE)=MINS(IL,IE)
NAB(INN)=-NMC
707 IF(ICH-1)708,708,71C
708 WRITE(5,7C5)(NMC,(MINS(IL,IE),IL=1,9),IE=1,3)
709 FORMAT(1X,10F1C.7)
710 CONTINUE
IF(ICH-1)711,711,720
711 WRITE(5,36C)
720 CONTINUE
NAB(NEN)=C.C
CC 722 IL=1,9
DC 722 IE=1,3
722 MAB(NEN,IL,IE)=MZERO
CALL GRAF1
GC TC 150
END
```